ATLAS ALMOFRONT-1:

hydrodynamique, chimie et planctologie en mer d'Alboran Est

(L'Atalante, avril-mai 1991)

Ouvrage collectif sous la direction de

Louis PRIEUR et Alain SOURNIA (CNRS/INSU)

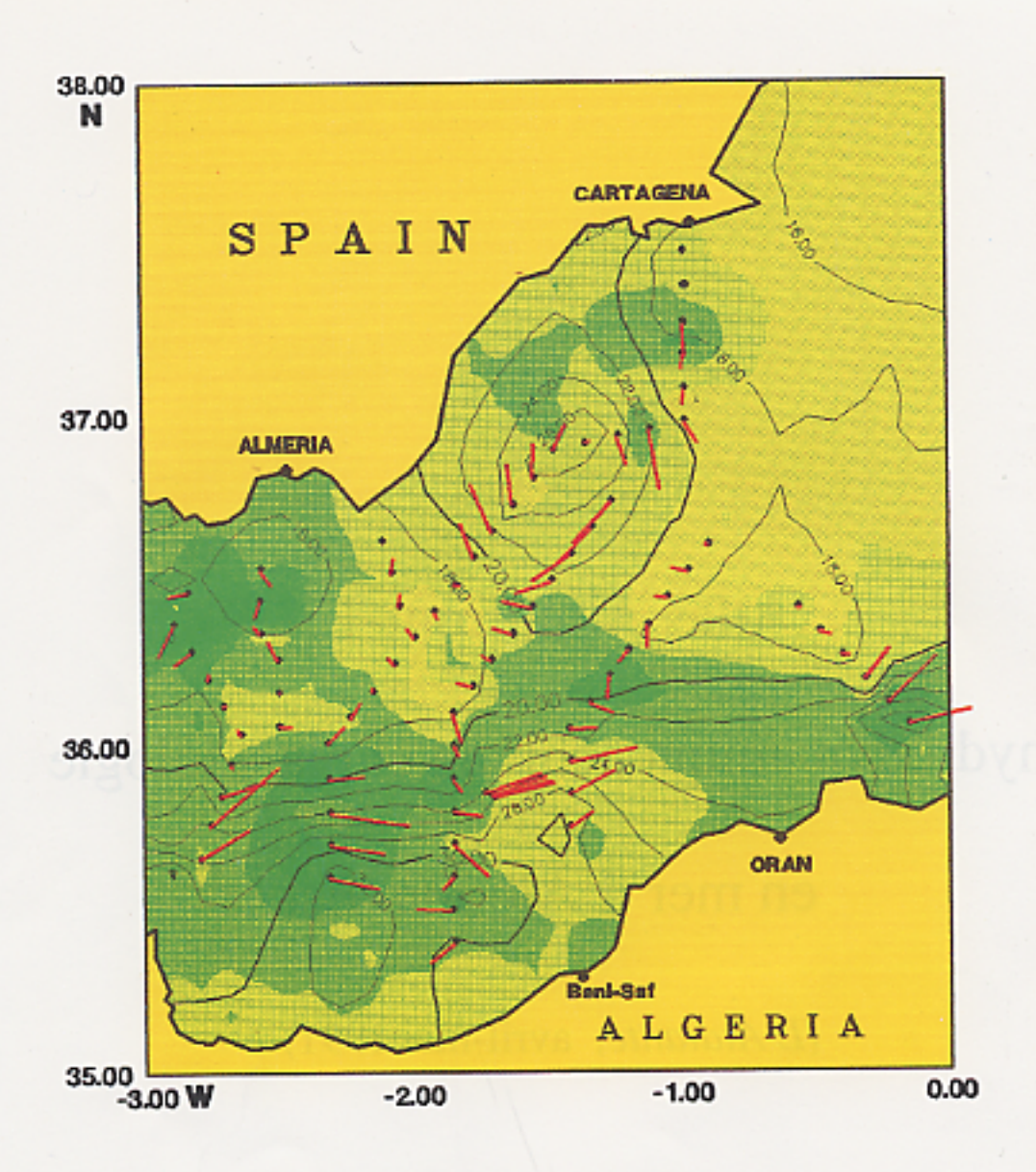
Atlas Almofront-1:

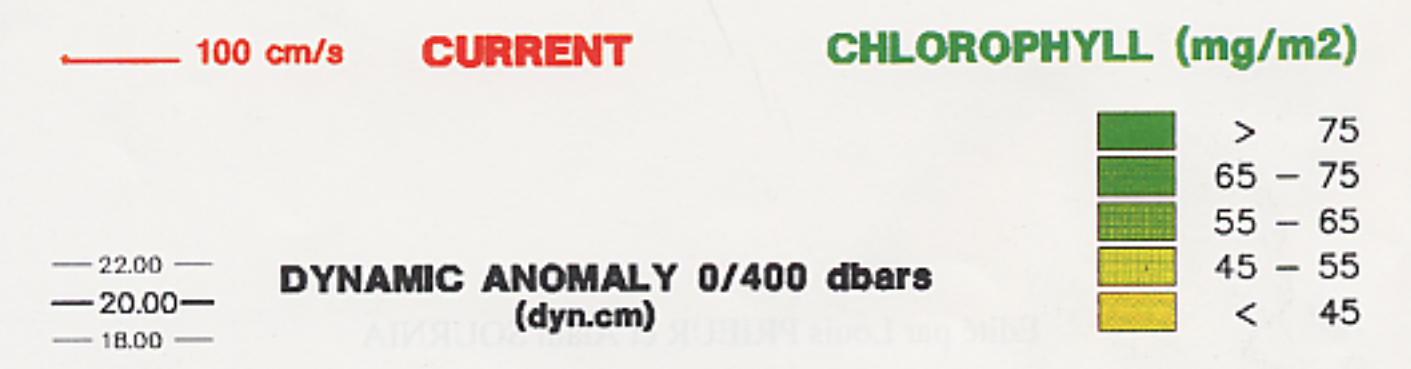
hydrodynamique, chimie et planctologie

en mer d'Alboran Est

(L'Atalante, avril-mai 1991)

Edité par Louis PRIEUR et Alain SOURNIA





Couverture synoptique de la région Alméria-Oran pendant la campagne «Almofront-1».

- Le relief dynamique par courbes de niveau montre le jet atlantique vers l'Est, entre le gyre anticyclonique atlantique de la mer d'Alboran orientale (au Sud) et deux tourbillons cyclonique et anticyclonique (au Nord).
- Les mesures directes de courant par ADCP, confrontées au relief dynamique, indiquent que l'écou-lement est bien géostrophique.
- Les plus fortes concentrations en chlorophylle sont trouvées dans le système jet-front ainsi que dans le tourbillon anticyclonique d'Alméria.

Table des matières

AUTEURS ET LOCALISATION DES DONNEES	7
LA CAMPAGNE ALMOFRONT-1	Ģ
Le front Alméria-Oran	10
Objectifs de la campagne Almofront-1	11
Stratégie, opérations et calendrier	12
Méthodes générales	13
Bilan scientifique provisoire	15
Bibliographie d' «Almofront-1»	17
Liste des participants	20
Table des stations	22
ALMOFRONT-1A (24 AVRIL AU 12 MAI 1991):	
COUVERTURE REGIONALE DU JET ET STRUCTURE DU FRONT	31
Thermographies satellitaires	32
Bathymétrie, stations, météorologie, données de surface et diagramme TS général	45
Cartographies horizontales	53
Température et salinité	54
Densité et anomalie dynamique	62
Oxygène et nitrates Phosphates et silicates	70
Phosphates et silicates Nitrites	78
Coupes verticales	86
Tres Forcas, Almeria, Gata, Vera, Beni-Saf,	91 92
Mostaganem, Cartagena	132
Sections Tow-Yo	149
Stations	150
Diagrammes TS	151
Coupes de température, salinité et densité	153
Courantologie	165
Système Hydro-Electrique Tracté (SHET)	169
Phytoplancton	173
Copépodes	177
Carbone et azote organiques dissous	187
Inventaire des autres données du leg A	192
ALMOFRONT-1B (13 AU 26 MAI 1991):	
LES SITES DU SYSTEME FRONTAL	193
Sites et stations, météorologie, données de surface, température,	
salinité, densité, diagrammes TS et chlorophylle	195
Nutrilites	211
Hydrologie et ETS	217
Phytoplancton et production primaire	225
Copépodes Tracerore limitimes et CUN	229
Traceurs lipidiques et CHN	243
Biomasse et activités bactériennes	253
Inventaire des autres données du leg B	259

Auteurs et localisation des données

La conception et la coordination de cet Atlas, comme ce fut le cas pour la campagne «Almofront-1» elle-même, reviennent à L. Prieur et A. Sournia. Ce rôle d'éditeurs scientifiques une fois rappelé, il n'en importe pas moins d'identifier les auteurs des divers éléments constitutifs du présent ouvrage : ceci est fait au début de chaque chapitre ou sous-chapitre. Ainsi, pour les citations bibliographiques, l'exemple suivant peut être conseillé :

Davies, P.A. & Folkard, A. 1994. Thermographies satellitaires. In Prieur, L. & Sournia, A.,»Atlas Almofront-1: hydrodynamique, chimie et planctologie en mer d'Alboran Est (L'Atalante, avril-mai 1991)», pp. 32-44. Centre National de la Recherche Scientifique/INSU, Paris.

D'autre part, le but de cet Atlas étant de mettre un corps de données à la disposition de la communauté océanographique, la localisation matérielle des données doit être clairement indiquée, ce qui est fait dans le tableau suivant ; le lecteur saura ainsi qui contacter pour obtenir, et sous quel support (conventionnel ou informatique), tel ou tel type de données numériques ou telle information complémentaire. Dans le doute, on pourra consulter L. Prieur ou A. Sournia qui continuent de coordonner l'exploitation de la campagne Almofront-1.

Enfin, la liste des participants à la campagne est donnée p. 20.

DONNEES	RESPONSABLE	ADRESSE
Alcalinité-pH-CO ₂	Copin-Montégut (Cl.)	(1)
Azote (assimilation et régénération)	L'Helguen	(13)
Bactéries (biomasse et activités)	Fernandez	(5)
Bioness	Bausant c/o Dallot	(3)
Biosonics	Gasser c/o Dallot	(3)
Caméra in situ (UVP)	Gorsky	(3)
Carbone 13	Laube-Lenfant c/o Pierre	(7)
Carottages Kullenberg et Usnel	Vergnaud-Grazzini	(7)
Chlorophylle (fluorescence in vivo)	Prieur	(1)
Chlorophylle (HPLC)	Claustre	(1)
Chlorophylle (extraction et fluorimétrie)	Poulain, Raimbault	(8)
CHN	Goutx	(8)
COD	Avril c/o G. Copin-Montégi	
Copépodes	Seguin	(3)
Coulter	Thibault c/o Gaudy	(8)
Courantométrie ADCP : mode fixé	Prieur	(1)
Courantométrie ADCP : mode remorqué	Gratton	(11)
Densité et anomalie dynamique	Prieur	(1)
Diagrammes TS	Raunet	(1)
ETS	Lefèvre c/o Denis	(8)
Hydrologie	Prieur	(1)
Marqueurs lipidiques	Gérin c/o Goutx	(8)
Métaux-traces (cuivre, cadmium, plomb)	Riso	(13)
Métaux-traces (mercure)	Courau	(1)
Météorologie	Raunet	(1)
MOD	Momzikoff	(15)
MOD (fluorescence)	Momzikoff	(15)

Neige marine	Fabry	(21)
Nitrification	Bianchi	(5)
NOD	Poulain, Raimbault	(8)
Nutrilites	Morin	(6)
Oxygène	Minas (HJ. et M.)	(8)
Oxygène 18	Laube-Lenfant	(7)
Phytoplancton (micro- et nannoplancton : Leg A)	Sournia	(17)
Phytoplancton (micro- et nannoplancton : Leg B)	Videau	(18)
Phytoplancton (nanno- et picoplancton : Legs A-B)	Fiala	(20)
Pièges à sédiment	Miquel	(9)
Pigments photosynthétiques (HPLC)	Claustre	(1)
Production primaire	Videau	(18)
Système Hydro-Electrique Tracté (SHET)	Prieur	(1)
Température, salinité, densité	Raunet	(1)
Thermographies satellitaires	Davies	(19)
Zooplancton: faunistique, sauf copépodes	Le Fèvre	(14)
Zooplancton: nutrition, métabolisme	Gaudy	(8)

Adresses

- (1) Laboratoire de physique et chimie marines (CNRS, URA 353), B.P. 8, 06230 Villefranche-sur-Mer
- (2) Antenne Orstom, Centre Ifremer de Brest, B.P. 70, 29280 Plouzané
- (3) Station zoologique de Villefranche-sur-Mer (CNRS, URA 716), B.P. 28, 06230 Villefranche-sur-Mer
- (4) Department of Meteorology, McGill University, 805 Sherbrooke Street W., H3A 2K6 Montreal (Canada)
- (5) Microbiologie Marine (CNRS, UPR 223), Centre Universitaire de Luminy, Case 907, 13288 Marseille cédex 9
- (6) Observatoire Océanologique de Roscoff (CNRS, UPR 4106), B.P. 74, 29682 Roscoff cédex 2
- (7) Laboratoire d'Océanographie Dynamique et de Climatologie (LODYC), Université Pierre & Marie Curie ; 4, place Jussieu, 75252 Paris cédex 05
- (8) Centre d'Océanologie de Marseille (URA CNRS 41), Campus de Luminy, Case 901, 13288 Marseille cédex 9
- (9) IAEA, Marine Environment Laboratory, B.P. 800, 98012 Monaco cédex
- (10) Centre Océanologique de Marseille (CNRS, URA 41), Station Marine d'Endoume, rue de la batterie des lions, 13007 Marseille
- (11) Institut Maurice Lamontagne, CP. 1000, G5H 3Z4 Mont-Joli, Québec (Canada)
- (12) Mécanique des Fluides Géophysiques, Ecohydrodynamique, Université de Liège,
- B-5, Sart Tilman, 4000 Liège (Belgique)
- (13) Océanographie Chimique, Université de Bretagne Occidentale, Faculté des Sciences,
- B.P. 452; 6, avenue V. Le Gorgeu, 29275 Brest cédex
- (14) Océanographie Biologique, Université de Bretagne Occidentale, Faculté des Sciences, B.P.452; 6, avenue V. Le Gorgeu, 29275 Brest cédex
- (15) Institut Océanographique (CNRS, URA 716); 195, rue Saint-Jacques, 75005 Paris
- (16) Abt. Marine Planktologie, Institut für Meereskunde, Düsternbrooker Weg 20; 2300 Kiel (Allemagne)
- (17) Observatoire Océanologique de Roscoff (CNRS/INSU), c/o Laboratoire de Géologie, Muséum National d'Histoire Naturelle ; 43, rue de Buffon 75005 Paris
- (18) Laboratoire de physiologie végétale, Faculté des Sciences, B.P. 452; 6, avenue V. Le Gorgeu, 29275 Brest cedex Laboratoire des biomembranes, Ecole Normale Supérieure; 46, rue d'Ulm, 75231 Paris cédex 05
- (19) Dept of civil engineering, The University, Dundee DD1 4HN (Great Britain)
- (20) Observatoire Océanologique de Banyuls, Laboratoire Arago, 66650 Banyuls
- (21) Department of Biology, California State University, San Marcos, California 92096 (USA)
- (22) Centre de Météorologie Spatiale, B. P. 247; 22302 Lannion cédex.

La campagne "Almofront-1"

L. PRIEUR & A. SOURNIA

La campagne «Almofront-1» doit sa réalisation aux soutiens financiers de la DRET (contrat 9001-96), de l'INSU (France-JGofs, opération «Frontal») et du CNRS (URA 353). Le navire océanographique L'Atalante est armé par l'IFREMER et la collaboration, pendant la campagne, de M. le Commandant R. Derouet, des Officiers et de l'Equipage a été précieuse. La production du présent Atlas a été financée par les crédits JGofs-France de l'INSU.

On peut définir empiriquement les fronts hydrologiques comme des zones de fort gradient horizontal de densité. De telles discontinuités se rencontrent à toutes les échelles d'espace de l'océan mondial, entre le mètre et le millier de kilomètres, selon un continuum allant du petit estuaire à la circulation océanique générale. Loin d'être des limites sans épaisseur entre les masses d'eau, limites fictives comme le sont méridiens et parallèles sur les cartes géographiques, les fronts sont des interfaces hautement énergétiques et des structures matérielles propres qui possèdent leur hydrodynamique, leur ou leurs écosystèmes et une productivité biologique très généralement accrue par rapport à celle des eaux environnantes. Enfin, les flux de matière, tant horizontaux que verticaux, sont significativement modifiés au voisinage du front.

Née de ces considérations, l'opération «Frontal» de JGofs-France œuvre depuis 1988 dans une double perspective : (1) définir les processus physiques, chimiques et biologiques liés à la rencontre ou la juxtaposition de deux masses d'eau superficielles, et évaluer les effets de ces processus ; (2) établir le bilan des sources et des puits des diverses formes d'énergie et de matière (biomasse incluse) de ces singularités locales ou régionales, et confronter ce bilan à celui, plus global, d'une mer ou d'un océan.

«Frontal» et, avant lui, plusieurs équipes françaises non constituées en programme national, ont tout d'abord porté leurs efforts sur les fronts de divers types accessibles à partir des Stations marines et Observatoires côtiers. Un groupe de travail dûment interdisciplinaire s'est ainsi forgé progressivement et des méthodes et stratégies adaptées aux échelles frontales ont été mises au point et testées. « Frontal» a été alors amené à rechercher un site de plus grande échelle, bien caractérisé et d'une importance océanographique avérée, afin d'y conduire une opération collective de caractère synthétique. Les fronts dits «géostrophiques» (gradients de pression en équilibre avec la force de Coriolis) étant, dans l'ensemble, moins bien connus que les autres malgré leur importance planétaire, c'est vers ce type que le choix a finalement penché.

LE FRONT ALMERIA-ORAN

Pour de nombreuses raisons, le front qui s'étend approximativement entre Almeria (Espagne) et Oran (Algérie), à l'entrée de la Méditerranée, se présentait comme le siteatelier idéal pour une étude frontologique d'envergure en 1991 :

- C'est un front géostrophique, c'est-à-dire quasi permanent (en équilibre dynamique), dans lequel l'écoulement principal est un «jet» parallèle au front et accompagné d'une intense convergence dans le plan transversal.
- Ses caractéristiques quantitatives sont remarquables : longueur > 200 km; gradient horizontal de densité > 0,4 kg m³ pour 10 km; largeur d'environ 20 km, c'est-àdire de l'ordre du rayon interne de déformation; transport : 106 m³ sec¹, éventuellement le double; courant de surface : env. 1 m sec¹; épaisseur : 150-200 m.
 - Il est relativement proche de la France.
- De fortes biomasses chlorophylliennes ont été mesurées (jusqu'à 23 μg l⁻¹), en regard d'une teneur moyenne des eaux méditerranéennes de 0,5 μg.

- Il est «un peu» connu dans la mesure où son importance et ses caractéristiques sont établies, mais tout reste à faire en ce qui concerne *les processus* d'une part, *les bilans* et *la modélisation* d'autre part. Soulignons que la méthodologie utilisée jusqu'ici, quelle que soit sa qualité, n'a pas été véritablement adaptée aux échelles de temps et d'espace relativement courtes des phénomènes appréhendés.
- Cette région, située aux portes de la Méditerranée, est le site optimal pour l'évaluation des entrées et des sorties. En effet, les écoulements semblent mieux définis et moins turbulents qu'à Gibraltar, se font sous forme de jet et sont identifiables par leurs caractéristiques hydrologiques. Le bilan peut donc être précisé sans qu'il soit besoin, s'il s'agit d'un suivi à long terme, de multiplier le nombre des points de mesures (une des «retombées» d'Almofront-1 sera de déterminer où et comment placer des engins de surveillance pour suivre ce bilan).

La mer d'Alboran peut être tenue pour un site classique, en particulier pour l'océanographie française (travaux de C. Allain, J. Furnestin, J.-C. Gascard, H. Lacombe et le groupe «Médoc», A. Lanoix, H.-J. Minas et le groupe «Médiprod» ou «Gréco P4», Cl. Richez, P. Tchernia). Cependant, la partie orientale de cette mer a été pratiquement laissée à l'écart et le front l'a été totalement jusqu'à l'époque récente des programmes internationaux WMCE (Western Mediterranean Circulation Experiment, 1985-87), GIBEX (Gibraltar Experiment, 1986-1987) et «¿Donde va? » (1982-1983).

OBJECTIFS DE LA CAMPAGNE "ALMOFRONT-1"

Les objectifs spécifiques de la campagne «Almofront-1» étaient :

- 1- Maîtrise des paramètres physiques et dynamiques qui entretiennent le front (ni la frontogenèse, ni la frontolyse n'ont été abordées) : champ de densité et champ de courant, dans les deux cas selon une résolution permettant le calcul de la vorticité potentielle et de la circulation secondaire ;
- 2- Caractérisation des niveaux primaire et secondaire de l'écosystème : apport de nutrilites (en fonction de la circulation secondaire) et leur consommation par le phytoplancton, biomasse végétale, tests sur la production primaire, biomasse zooplanctonique et caractérisation des populations animales en termes de maturité, classe de taille et relations trophiques ;
- 3- Evaluation des flux de matière dans la zone frontale entre la couche de surface et les couches sous-jacentes.

En outre, la réalisation de ces trois objectifs laisse attendre les «retombées» suivantes :

- Production d'un corps de données pluridisciplinaires utilisable pour une modélisation du système frontal ;
- Mise au point d'une méthodologie «méso-échelle» exportable à d'autres fronts géostrophiques de l'océan mondial ;
- (comme on vient de le voir) Evaluation des flux méditerranéens entrant et sortant (eau, alcalinité, nutrilites, matière organique dissoute, éléments-traces) dans une perspective de surveillance à long terme.

Quasi permanent, le front Alméria-Oran subit cependant une inversion saisonnière dans la mesure où les eaux atlantiques entrantes sont alternativement plus chaudes (hiver) et plus froides (été) que les eaux méditerranéennes de surface. Le sens du gradient de densité demeure constant mais les situations hydrodynamiques sont différentes aux deux saisons ; le front estivo-automnal semble plus stable, plus profond et biologiquement plus productif

(c'est en novembre que les teneurs en chlorophylle les plus fortes ont été mesurées). La maîtrise du système et, notamment, sa modélisation impliquent que les deux saisons soient couvertes. «Almofront-1» a eu lieu au printemps 1991, un «Almoforont-2» est prévu pour l'automne 1996 ou ultérieur.

STRATEGIE, OPERATIONS ET CALENDRIER

La stratégie adoptée pour «Almofront» était diversifiée et séquentielle ; dans la pratique, elle a optimisé jusqu'à leurs limites le temps-navire et le temps-équipes.

Une première partie («Leg A») a permis tout d'abord, à partir d'un réseau de 83 stations CTD et ADCP couvrant toute la partie Est de la mer d'Alboran, de localiser le jet et d'établir les bilans en eau, sels, azote et carbone ; puis, au moyen de 4 radiales Tow-yo avec CTD et ADCP remorqué, d'observer la structure interne du système frontal afin de déterminer la circulation secondaire agéostrophique. La couche 0-200 m a ensuite été explorée en détail au moyen d'un système multivariable (SHET), en vue d'évaluer quantitativement les effets de cette circulation secondaire sur la distribution des variables impliquées dans la production primaire (nutrilites, oxygène, CO₂).

Dans une seconde partie («Leg B»), les flux de matière dans la colonne d'eau et au travers de l'écosystème ont été mesurés pour diverses classes de taille de la biomasse ; pour ce faire, le navire a exploré 6 sites de deux jours chacun à travers la structure frontale en suivant la trajectoire de deux pièges à sédiment dérivants. Ces sites constituent une coupe virtuelle (car effectuée en 12 jours au travers d'une structure mouvante mais prévisible) allant de la zone anticyclonique (équivalente à un tourbillon) sur le bord droit du jet à la zone d'eau dense située hors du jet sur sa gauche et au-delà du front. Les résultats ainsi obtenus, replacés dans le cadre synoptique de la première partie, vont permettre de déterminer les flux pour l'ensemble de la partie Est de la mer d'Alboran et d'évaluer l'influence d'un système de jet frontal sur les transferts en profondeur de la matière synthétisée dans la couche euphotique.

L'ensemble des résultats traités à ce jour justifie a posteriori cette stratégie : la totalité du système frontal a bien été visitée, elle a été échantillonnée aux échelles convenant à chaque variable considérée, et les sites du second leg étaient bien représentatifs et de la structure et du fonctionnement du système.

La campagne «Almofront-1» a mobilisé 52 scientifiques embarqués à bord de L'Atalante pour l'une des deux ou pour les deux parties de la campagne, outre une douzaine de collaborateurs non embarqués. Au total, 14 laboratoires français et 7 laboratoires étrangers ont été impliqués (voir liste des participants).

Toutes les opérations prévues ont été réalisées dans les temps qui leur avaient été réservés, en particulier les acquisitions, dosages et traitements à bord, ce qui a permis d'adapter jour par jour la stratégie de la campagne aux structures rencontrées. La position de l'écoulement atlantique et du front entre Almeria et Oran a été trouvée dès la première radiale de stations prévue à cet effet, alors que l'imagerie satellitaire fournissait une position ambiguë. Le front a été trouvé en position Sud; le bord gauche de l'écoulement, au début de la campagne, était donc situé le long du talus de la côte africaine. Toutes les opérations ont ensuite été placées pour tenir compte de cette position particulière.

PARTIE «A»: DE TOULON (24 AVRIL) A ALMERIA (12 MAI)

- Transit entre Toulon et Carthagène : 36 heures d'enregistrement en continu sur l'eau pompée du circuit du thermosalinographe. Paramètres mesurés : T, S, O₂, pCO₂, pH, fluorescence de la chlorophylle. Plusieurs fronts de salinité ont été rencontrés, associés à des variations notables de la concentration en chlorophylle.
- Réseau de 83 stations CTD-rosette de 0 à 1000 m (8 jours) : 920 échantillons pour nutrilites et oxygène ; 500 échantillons pour alcalinité, COD, NOD, ¹³C, ¹⁸O₂ ; 83 enregistrements d'une heure de profils de courant Doppler ; 100 échantillons pour dosage de Hg, Cu, Pb et Cd. L'espacement des stations était de 6 milles marins, c'est-à-dire moins que le rayon interne de Rossby (évalué à 13-18 km).
- Mouillage par 1352 m de fond sur le bord gauche de l'écoulement atlantique : 4 pièges à sédiments (à 1 000, 500, 300 et 100 m), fluorimètre in situ (48 m) et deux courantomètres (95 et 200 m). Au cours de la campagne, l'écoulement s'est déplacé vers le Nord, pour se situer finalement dans la partie anticyclonique du système (bord droit). Ce mouillage n'a pu être remonté comme prévu à la fin de la campagne, les flotteurs n'ayant pas rempli leur office, mais il l'a été quelques mois plus tard (septembre) grâce à une intervention de la Cyana ; l'essentiel de l'équipement a pu ainsi être récupéré mais la plupart des données enregistrées, ainsi que les récoltes, ont été perdues.
- Tow-Yo (4 jours) : quatre radiales au travers du front et de l'écoulement associé, soit 245 profils T-S-O²-fluorescence espacés en moyenne de 1 km; simultanément à ces profils, courantométrie entre 0 et 350 m, chaque minute, au moyen de deux profileurs Doppler, l'un remorqué à 75 m derrière le bateau, l'autre fixé au bout d'un carottier à 7 m sous la surface. Durant ces radiales, réalisées à 2 nœuds malgré des conditions de vent parfois critiques, le sondeur bifréquence enregistrait la densité des échos acoustiques du macroplancton entre 0 et 600 m de profondeur.
- Système Hydro-électrique Tracté (SHET) entre 0 et 200 m pour t°, S, diffusion, pH, pCO₂, NO₃, NO₂, SiO₄, PO₄, biomasse bactérienne, chlorophylle, fluorescence de la matière organique dissoute ; soit 31 stations réparties en trois radiales de 50 milles, d'une durée totale de 3 jours.

PARTIE «B»: D'ALMERIA (13 MAI) À CADIX (27 MAI)

• Chaque jour :

- 7 à 10 profils CTD-O₂-fluorescence d'au moins 0-300 m afin de contrôler que les opérations menées pendant plus de 36 h sur un même site pouvaient être considérées, du point de vue hydrologique et dynamique, comme effectués en un même «point»;
- profil jusqu'au fond pour ETS, O₂, nutrilites (rosette ou Niskin 30 l);
- 4 caméras à plancton selon 2 types d'éclairage entre 0 et 1 000 m;
- 2 immersions (500-0 m) du Bioness avec 10 filets 500 mm et 10 filets 200 mm, couplées avec le sondeur Biosonics;
- 2 CTD-rosettes (à l'aube et au crépuscule) pour étude des profils de pigments, de l'activité de nitrification et de la production bactérienne dans la couche euphotique et la couche sous-jacente ;
- mesures de production primaire et du taux de croissance par classes de taille
- filets triples 200-0 m de jour et de nuit pour les expérimentations de broutage, respiration et excrétion du mésozooplancton ;

- CTD-rosette pour marqueurs lipidiques, fluorescence de la matière organique dissoute, COD, NOD, et ¹³C;
- ADCP et Biosonics tous deux en service, soit en station, soit en route lente pendant les pêches horizontales.

• Un jour sur deux :

- Mise à l'eau et récupération d'une ligne dérivante de 2 pièges à 100 et à 300 m;
- Profil SHET:
- Carottage Usnel ou Kullenberg;
- Pêches horizontales en surface pour foraminifères;
- Pêches horizontales de nuit au filet Omori pour récoltes d'animaux aux fins d'expé-riences de production de pelotes fécales ;
- CTD-rosette pour analyse détaillée entre 300 et 0 m de la nature des particules, en liaison avec les pièges dérivants ;
- Pompage de matière particulaire en liaison avec la récolte in situ (en plongée autonome à partir de L'Atalantine) d'échantillons de neige marine ;
- Profils d'assimilation et de régénération de l'azote.

METHODES GENERALES

Ce chapitre est destiné à fournir des informations sur le matériel utilisé, les techniques et les méthodes de traitement employées pour élaborer les données utilisées dans l'Atlas. Il ne concerne que les variables qui ont un caractère général et pour lesquelles les méthodes de mesure ne sont pas reprises dans les chapitres spécialisés.

Matériel utilisé:

Sonde CTD. Seabird SBE9 avec système de pompage, capteur d'oxygène et fluorimètre Seatech. Le logiciel d'acquisition était celui de Seabird: Seasoft version 3.5; sonde n° 2388 (sonde INSU); capteur de pression Digiquartz 410K-023, 10000 psia, S/4N 29760; capteur de conductivité S/N 606; capteur de température S/N 970. Les précisions absolues sont respectivement, 2 dbar, 0.0003 S/m soit 0,003 psu en salinité, et 0,004 °C. Les précisions relatives sont 1 dbar, 0,001psu et 0,0005 °C d'après le constructeur. Lors des stations CTD verticales, la sonde était associée à une rosette General Oceanic de 12 bouteilles Niskin de 12 l pour prélèvements discrets d'eau.

ADCP. Deux courantomètres RDI à effet Doppler acoustique à 150 kHz, munis d'un compas interne et de capteurs de roulis et tangage (précision 2 degré). Un courantomètre (propriété DRET) était monté dans une nacelle prototype qui rendait l'engin légèrement flottant. Il était utilisé en remorque 100 m derrière le navire dont la vitesse ne dépassait pas 5 nœuds. Un poids fixé sur le câble porteur, 70 m devant l'ADCP, contraignait l'engin à rester à une profondeur de l'ordre de 4 m. Les signaux étaient visualisés à bord en temps réel. Un autre ADCP (propriété du gouvernement

Canadien, Y. Gratton) a été systématiquement utilisé, fixé sur un carottier le long de la coque du navire durant les 83 premières stations. Les résultats, placés sous la responsabilité d'Y. Gratton, ne sont pas présentés ici (à l'exception de la carte de couverture) ; ils seront présentés dans un rapport particulier. Les deux ADCP étaient configurés pour fournir les composantes Est et Nord du courant par tranche de 8 m d'eau jusque 340-360 m de profondeur avec une précision relative de l'ordre du cm/s.

GPS et positionnement. Le système de positionnement du navire utilisait principalement le GPS dont les mesures étaient répétées systématiquement en temps réel sur le système d'acquisition des ADCP. Lors d'Almofront, le GPS n'était pas dégradé et la précision absolue était de l'ordre de 10 m. Néanmoins, la position des stations CTD retenue a été celle fournie par le logiciel de navigation intégrée du navire (logiciel Genavir), qui tient compte de l'ensemble des moyens de navigation disponibles à bord.

Thermosalinographe et paramètres météorologiques. Le système utilisé est celui d'origine de l'Atalante. Le circuit de pompage du thermosalinographe est en acier inoxydable. Un thermomètre à quartz (TQP) est fixé à la proue du navire et un autre, situé dans la cellule de mesure de la conductivité au centre du navire, était utilisé pour convertir la conductivité en salinité. Le système d'acquisition centralisait toutes les informations, les visualisait et créait des fichiers ASCII.

SHET. Le Système Hydro-électrique Tracté, prototype du LPCM (L. Prieur, INSU) est un système intégré qui permet d'obtenir simultanément des mesures à partir d'une sonde CTD GUILDLINE 8705 située dans la partie poisson du système, d'un diffusiomètre optique prototype LPCM, et à partir de divers moyens de mesures chimiques analysant en continu l'eau pompée à travers un ombilic. Le système est décrit dans l'article de Prieur et al. (1993).

Dosages de O2 et nutrilites. Ces variables étaient dosées sur échantillon prélevé sur la rosette. Elles l'ont été systématiquement lors des 83 premières stations (soit 950 échantillons). Un système automatique Metrohm a été utilisé pour doser l'oxygène (M. Minas). Les nutrilites, nitrite, nitrate, phosphate et silicate ont été analysés simultanément par les méthodes classiques de (respectivement): Bendschneider et Robinson, Wood, Armstrong et Richards, Murphy et Riley et Mullin et Riley. Ces méthodes ont été automatisées sur Auto-Analyseur Technicon selon le protocole Tréguer et Le Corre. Le détail de la procédure et des références peut être trouvé dans le fascicule de données consacré aux nutrilites d'Almofront 1 (Morin et al., 1992).

Techniques de sondages, prélèvements et acquisition

En station. Les profils CTD O2 et fluorescence sont enregistrés au format standard Seabird. Les fichiers bruts sont nommés par le numéro du profil. Les données enregistrées sont les données moyennes obtenues chaque seconde. Les douze prélèvements à la bouteille Niskin sont effectués à la montée de la sonde, à des profondeurs fixées selon le profil de descente et selon les objectifs assignés au profil. Lors des 83 premières stations, 4 bouteilles étaient déclenchées dans la zone euphotique, 4 dans la région du gradient eau atlantique-eau méditerranéenne et 4 dans la couche profonde, en respectant les points caractéristiques (extremums). Une bouteille était déclenchée au maximum de fluorescence et 20 mètres en dessous afin de mieux cerner le maximum de nitrite. Les profondeurs de déclenchement sont listées dans les pages suivantes. Un fichier des valeurs sonde au moment du déclenchement des bouteilles était également constitué (fichiers mrk). Une fois la rosette à bord, les prélèvements d'oxygène étaient d'abord effectués, puis ceux pour la salinité (en contrôle) et ensuite ceux des nutrilites. Ces derniers étaient analysés dans les quelques heures suivantes. Dans la période d'attente, les échantillons étaient conservés au frais et à l'abri de la lumière.

En Tow-Yo. La sonde CTD séparée de la Rosette était régulièrement descendue ou montée à 1 m/s entre la profondeur minimale, fixée à 10 m et la profondeur maximale de 650 m. La vitesse du bateau par rapport au fond était maintenue constante à environ 2 nœuds selon la route choisie. Dans cette configuration, le numéro des stations était incrémenté à chaque montée ou descente et la position retenue était celle du début du profil. Cette stratégie a été appliquée même au travers du jet qui parfois atteignait 1 m/s, en modifiant le cap du navire et sa vitesse par rapport à la surface sans modifier sensiblement sa vitesse par rapport au fond. Durant les Tow-Yo, l'ADCP remorqué fonctionnait en acquisition permanente. Les moyennes (pour chacune des 45 tranches d'eau explorées) d'environ 27 mesures de vitesse et d'amplitude, corrigées à chaque «ping» des roulis, tangage et cap du poisson remorqué, étaient enregistrées chaque minute pour constituer le fichier «Pingdata» brut des données ADCP.

En opération SHET. Le SHET était maintenu en permanence à la mer lors des trois jours d'opération. A chacune des 31 «stations», la vitesse du navire était maintenue à 0,5 nœud (en relatif) et le poisson descendu à 10 m par minute jusque 200 m afin d'obtenir une résolution verticale sur les mesures de l'ordre de 1 m après traitement. A la fin du profil, qui demandait 20 à 25 minutes, le navire quittait la station pour rejoindre à 5 nœuds la station suivante. L'acquisition des données (chaque 3 secondes) étaient maintenue pendant 45 minutes après le début du profil, afin d'acquérir les variables (nitrate et silicate) qui demandaient les temps d'analyses les plus longs.

Traitement et fichiers résultats disponibles

<u>Données CTD.</u> Les fichiers bruts sont relus par le programme 'binavg' et transcrites intégralement en ASCII sur l'ordinateur HP9000 du LPCM. Seules sont traitées dans un premier

temps les variables pression, salinité et température in situ. Elles sont visualisées par graphique, «nettoyées» des données aberrantes et des inversions (rares) de pression. Les premières valeurs obtenues lors de la stabilisation de la sonde en surface sont éventuellement éliminées par examen visuel. Les entêtes de station complètes avec météorologie, position, heure etc. sont alors associées aux données PTS, pour constituer l'archive primaire sur bande magnétique. Cette archive est utilisée pour construire les graphiques Theta-S, les profils verticaux par station et chaque fois que l'ensemble des données s'avère nécessaire. Une seconde archive est constituée des données interpolées aux valeurs rondes et espacées de 5 dbars pour température potentielle, salinité, densité potentielle, contenu thermique cumulé depuis la surface, contenu halin et hauteur dynamique. Cette archive secondaire est utilisée chaque fois que les données de plusieurs stations doivent être utilisées simultanément. Les valeurs cumulées sont obtenues par intégration des fichiers primaires selon la méthode des trapèzes avec interpolation aux profondeurs rondes. Les anomalies de hauteur dynamique sont calculées par rapport à un océan de référence ayant une température in situ constante de 12,860 °C et une salinité de 38.46 psu. L'archive secondaire est conservée sur disquette DOS sous forme ASCII aisément copiable (5 disquettes pour les 444 stations d'Almofront).

ADCP. Les fichiers bruts au format RDI sont transcrits en fichiers ASCII pour le paramètres de navigation et les différentes variables enregistrées (dont les vitesses horizontales et les variables classiques de contrôle du bon fonctionnement de l'ADCP). Ces fichiers sont ensuite repris sous le logiciel Matlab afin de les manipuler plus commodément et d'effectuer les opérations de nettoyage, découpage en opération, filtrage et archivage. L'archivage primaire (les fichiers bruts sont évidemment conservés) est réalisé par opération, avant les traitements complets. L'archivage secondaire n'est réalisé que pour les opérations les plus importantes

(stations et Tow-Yo); il est constitué de fichiers Matlab contenant les vitesses absolues à la profondeur de référence, les vitesses relatives Est et Nord, les données de navigation et les amplitudes. C'est à partir de cette archive qu'ont été constitués les graphiques du Tow-Yo 2 montrés en exemple dans cet atlas.

Etalonnage de la sonde CTD. Les données P. T, C, et S sont conservées selon les étalonnages réalisés par Seabird avant la campagne, respectivement les 3/08, 13/09 et 20/09/1990. Les étalonnages réalisés peu après la campagne introduiraient des corrections très faibles : (0,003 °C en T, 2 dbars en P, 0,0032 en S) qui n'ont pas été faites. Le contrôle de la température a été réalisé in situ en quelques points à 1000 m de profondeur à l'aide d'un thermomètre SYS et ne montrent pas d'écart supérieur à 0,003 °C. En revanche, le contrôle de la salinité par prélèvement en canettes montrent un écart significatif de 0.016 ± 0.003 (31 valeurs très fiables à des profondeurs doublées). Les valeurs de la sonde sont trop faibles par rapport aux valeurs données par le salinomètre Guildline Autosal 8400. Par ailleurs, la température moyenne trouvée à 1000 m est comparable à celle trouvée l'année précédente dans la même zone lors de la campagne Vicomed-4 (mai 1990). La sonde Guildline 8715 alors utilisée indiquait des valeurs de salinité identiques (à 0,002 psu près) aux valeurs Autosal. La salinité moyenne était de 38,440 à 1000 m (18 stations). Pour Almofront, nous avons trouvé $38,423 \pm 0,004$ (60 stations). Si l'on ajoute le décalage constaté de 0,016, la salinité moyenne à 1000 m est alors trouvée égale à 38,439 ± 0.004, compatible avec celles de Vicomed-4. Tous les graphiques et les archives ont néanmoins été réalisés selon l'étalonnage Seabird. Il convient donc d'ajouter 0,016 psu aux valeurs de salinité pour être plus proche de la réalité lors d'un travail précis sur l'évolution des eaux profondes en Méditerranée. De tels décalages avec une sonde Seabird ont déjà été répertoriés dans cette mer à forte salinité (campagne Mediprod-VI).

BILAN SCIENTIFIQUE PROVISOIRE D' «ALMOFRONT-1»

Deux ans après la réalisation de la campagne «Almofront-1», une première vision du fonctionnement et du bilan biogéochimique du front Alméria-Oran se dégage.

Physiquement comme biologiquement, le système jet-front possède et auto-entretient une dynamique propre. Au sein de l'environnement oligotrophe traversé par le système frontal, celui-ci apparaît comme une source de production intense ; l'assimilation

photosynthétique du carbone y est significativement plus élevée que dans les eaux adjacentes, du fait d'un enrichissement en nutrilites apportés probablement par la circulation secondaire. Cette production est consommée et dégradée à partir du site de fertilisation vers le Sud et vers la profondeur, et les flux verticaux de particules sont significativement augmentés dans la zone frontale ; en d'autres termes, le front est un site exportateur. La confrontation de plusieurs indices taxinomiques, biochimiques ou physiologiques révèle un écosystème distinct de celui (ou de ceux) des eaux adjacentes, écosystème caractérisé par l'hétérogénéité des populations végétales et animales et par des gradients de productivité et de maturité. Enfin, les échelles spatio-temporelles des phénomènes biologiques et des phénomènes physiques sont, à la fois, commensurables et complémentaires, d'où la double possibilité (1) de réellement tester les effets physiques sur les variables biologiques de l'écosystème, et (2) d'utiliser des indices biologiques pour identifier et même quantifier certaines variables physiques.

Un atelier international sur les fronts géostrophiques a été tenu en octobre 1992 et a donné lieu à 23 communications résultant de la campagne «Almofront-1» (Anon. 1992). Deux lots essentiels de données brutes (mais corrigées) sont disponibles : CTD (Prieur et al., 1991) et nutrilites (Morin et al. (1992). Les premières publications sont parues (voir liste ci-dessous) et un train de 3 articles va constituer un numéro entier du Journal of marine Systems. Actuellement (automne 1993), l'étape-clef du calcul de la circulation secondaire n'est pas encore franchie ; elle ouvrira la porte au calcul des flux, à l'évaluation des bilans et à la modélisation.

BIBLIOGRAPHIE D' «ALMOFRONT-1»

Anon. 1992. Processes and budgets in geostrophic fronts (*Processus et bilans dans les fronts géostrophiques*. Workshop/Atelier, Marseille-Luminy, Oct. 1992. JGofs-France Rep. 13:123 p.

BAUSSANT, T., GASSER, B., GORSKY, G. & KANTIDAKIS, A. 1993. Mesopelagic micronekton and macrozooplankton observed by echosounding, multiple-net sampling and video profiling across the Almeria-Oran front (W. Mediterranean Sea). *Annls Int. océanogr. Monaco* 69 (1) 87-93.

BIANCHI, M., MORIN, P. & LE CORRE, P. Nitrification rates, nitrite and nitrate distribution in the Almeria-Oran frontal systems (eastern Alboran Sea). J. mar. Systems (in press).

CLAUSTRE, H., KERHERVE, P., MARTY, J.-C. & PRIEUR, L. Phytoplankton photoadaptation related to some frontal physical processes. J. mar. Systems (in press).

CLAUSTRE, H., Kerhervé, P., MARTY, J.-C., PRIEUR, L., VIDEAU, C. & HECQ, J.-H. Phytoplankton dynamics associated with a geostrophic front: ecological and biogeochemical implications. J. mar. Res. (in press).

COPIN-MONTégut, C. Alkalinity and carbon budget in the Mediterranean Sea. 1993. *Global biochemical Cycles* 7 (4) 915-925.

DAVIES, P.A., FOLKARD, A.M. & CHABERT D'HIERES, G. 1993. Remote sensing observations of filament formation along the Almeria-Oran front. *Annales geophys. 11*: 419-430.

ERRHIF, A. 1992. Diversité et structure des peuplements de copépodes pélagiques de grande taille durant la campagne Almofront-1. *Mém. DEA Univ. Aix-Marseille-3, 40 p.*

FERNÁNDEZ, M., BIANCHI, M. & VAN WAMBEKE, F. 1994. Bacterial biomass, heterotrophic production and utilization of dissolved organic matter photosynthetically produced in the Almeria-Oran front. J. mar. Systems (in press).

- FIALA, M., SOURNIA, A., CLAUSTRE, H., MARTY, J.-C., PRIEUR, L. & Vétion, G. Gradients of phytoplankton abundance, composition and photosynthetic pigments across the Almeria-Oran front (SW Mediterranean Sea). J. mar. Systems (*in press*).
- FOLKARD, A.M., DAVIES, P.A. & PRIEUR, L. The surface temperature field and dynamical structure of the Almeria-Oran front from simultaneous shipboard and satellite data. J. mar. Systems (*in press*).
- GERIN, C. & GOUTX, M. Iatroscan-measured particulate and dissolved lipids in the Almeria-Oran frontal system (Almofront-1, Leg B, May 1991). J. mar. Systems (*in press*).
- GORSKY, G., ALDORF, C., KAGE, M., PICHERAL, M., GARCIA, Y. & FAVOLE, J. 1992. Vertical distribution of suspended particles determined by a Video Profiler. *Annls Int. océanogr. Monaco* 68 (2) 275-280.
- GORSKY, G., BAUSSANT, T. & COTTA, D. Optcal estimation of the vertical distribution of macrozooplankton in the Alboran Sea front (*in press*).
- LEFÈVRE, D. 1993. Reminéralisation de la matière organique en milieux hydrologiques particuliers : fronts géostrophiques en Méditerranée et lentilles d'eau méditerranéenne en Atlantique. *Thèse Univ. Aix-Marseille II, 165 p., etc.*
- MOMZIKOFF, A., DALLOT & GONDRY, N. Distribution of sea water fluorescence and dissolved flavins in the Almeria-Oran front (Alboran Sea, Western Mediterranean Sea). J. mar. Systems (*in press*).
- MORIN, P., LE CORRE, P., MASSON, A., BAURAND, F. & PIZAY, M.-D. 1992. Campagne Almofront-1. Eléments nutritifs: résultats des mesures. *Univ. Bretagne occid./ CNRS*, 144 p.
- PEINERT, R. & MIQUEL, J.C. The significance of frontal processes for vertical particle fluxes: a case study in the Alboran Sea (SW Mediterranean Sea). J. mar. Systems (in press).
- PRIEUR, L., 1992. Almofront 91: an interdisciplinary study of the geostrophic frontal jet in the eastern Alboran Sea. *Rapp. Proc.-verb. Réunions CIESM*, 33:228.
- PRIEUR, L., Copin-Montégut, C. & Claustre, H. 1993. Biophysical aspects of «Almofront-1», an intensive study of a geostrophic frontal jet. *Annls Int. océanogr. Monaco* 69 (1) 71-86.
- PRIEUR, L. & Sournia, A. 1991. «Almofront». L'étude d'une discontinuité en Méditerranée. *CNRS Info 220 : 5-6*.
- PRIEUR, L. & Sournia, A. 1991. Campagne «Almofront»: documents de travail. Frontal/JGofs-France, *Rapp. int.*, 48 p.
- PRIEUR, L. & sournia, a. 1993. Structure et fonctionnement du front Almeria-Oran. *Lettre JGofs-France 2 : 4, 9-12*.
- PRIEUR, L. & SOURNIA, A. «Almofront-1» (April-May 1991): an interdisciplinary study of the Almeria-Oran geostrophic front, SW Mediterranean Sea. J. mar. Systems (*in press*).
- PRIEUR L., SOURNIA, A., ARNONE, R.A. & WIESENBURG, D. A., 1989. Almofront. *Provisional report of the initial planning meeting at Paris, France. June 1989. Paris : 53 p.*
- PRIEUR, L., TAILLIEZ, D. & COPIN, C. 1991. Almofront-I (avril-mai 1991): données CTD. Fasc. 1, 120 p.; fasc. 2, 150 p. Rapp. interne prov. OOV / LPCM, Villefranche.
- RISO, R.D., LE CORRE, P. MORIN, M. & CABON, J.-Y. Cadmium, copper and lead in the Eastern Alboran Sea: origin of metal enrichment in surface waters. J. mar. Systems (*in press*).

SEGUIN, G., ERRHIF, A. & DALLOT, S. Diversity and structure of pelagic copepod populations in the Alboran Sea. Hydrobiologia (in press).

SEGUIN, G., GAUDY, R., ERRHIF, A. & THIBAULT, D. Observations sur la composition taxonomique et les affinités écologiques des copépodes pélagiques récoltés dans la région du front Alméria-Oran. Marine Life (in press).

SOURNIA, A. 1993. Frontal studies in France-JGofs: a four-year summary. Annls Int. océanogr. Monaco 69 (1) 47-55.

THIBAULT, D., GAUDY, R. & LE FEVRE, J. Zooplankton biomass, feeding and metabolism in a geostrophic frontal area (Almeria-Oran front, western Mediterranean). Signifiance to pelagic food webs. J. mar. Systems (in press).

VIDEAU, C., SOURNIA, A., PRIEUR, L. & FIALA, M. Phytoplankton and primary production characteristics at selected sites in the geostrophic Almeria-Oran front system (SW Mediterranean Sea). J. mar. Systems (in press).

ZAKARDJIAN, B. & PRIEUR, L. A numerical study of primary production related to vertical turbulent diffusion with special reference to vertical motions of the phytoplankton cells in nutrient and light fields. J. mar. Systems (*in press*).

LISTE DES PARTICIPANTS

NOM	ADRESSE	LEG(S)) SPECIALITE
Embarqués			
Avril, B. (Villefranche)	(1)	Α	Carbone organique dissous
Baurand, F. (Brest)	(2)	Α	Nutrilites
Baussant, Th. (Villefranche)	(3)	Α	Acoustique
Bélanger, Cl. (Montréal)	(4)	Α	ADCP
Bianchi, M. (Marseille)	(5)	AB	Bactériologie
Birrien, JL. (Roscoff)	(6)	В	Pigments, production primaire
Claustre, H. (Villefranche)	(1)	AB	Marqueurs pigmentaires
Copin-Montégut, C. (Villefranche)	(1)	Α	Alcalinité, pH et CO ₂
Cornu, H. (Paris)	(7)	Α	Marquages isotopiques
Courau, Ph. (Villefranche)	(1)	Α	Métaux : mercure
Dallot, S. (Villefranche)	(3)	Α	Zooplancton; fluorescence MOD
Denis, M. (Marseille)	(8)	В	$E.T.S., O_2$
Fabry, V. (Monaco/San Marcos, Ca	lif.) (9)	В	Neige marine
Fernández, M. (Blanes/Marseille)	(5)	В	Activités bactériennes
Garcia, Y. (Villefranche)	(3)	Α	Caméra in situ
Gasser, B. (Villefranche)	(3)	В	Communautés zooplanctoniques
Gaudy, R. (Marseille)	(10)	В	Métabolisme du zooplancton
Gérin, Cl. (Marseille)	(8)	В	Marqueurs lipidiques
Gorsky, G. (Villefranche)	(3)	В	Profileur vidéo
Goutx, M. (Marseille)	(8)	В	Marqueurs lipidiques
Gratton, Y. (Mont-Joli, Québec)	(11)	Α	ADCP
Hecq, JH. (Liège)	(12)	Α	Pigments, lipides et protéines
Kantidakis, A. (Athènes)	(3)	В	Echosondage
Kerhervé, Ph. (Villefranche)	(1)	AB	Marqueurs pigmentaires
La Rosa, J. (Monaco)	(9)	Α	Pièges à sédiment
Le Corre, P. (Brest)	(13)	В	Cycle des nutrilites et de la MOD
Lefèvre, D. (Marseille)	(8)	В	Respiration, CO2
Le Fèvre, J. (Brest)	(14)	В	Populations zooplanctoniques
Leveau, M. (Marseille)	(8)	В	Hydrologie; particules

L'Helguen, S. (Brest)	(13)	В	Régénération de l'azote
Lochet, F. (Marseille)	(8)	A	Hydrologie, particules
Madec, C. (Brest)	(13)	В	Assimilation de l'azote
Marty, JC. (Villefranche)	(1)	Α	Marqueurs pigmentaires
Masson, A. (Brest)	(13)	Α	Nutrilites
Minas, HJ. (Marseille)	(8)	Α	Oxygène et bilans de production
Minas, M. (Marseille)	(8)	Α	Oxygène et bilans de production
Miquel, J.C. (Monaco)	(9)	В	Pièges à sédiment
Momzikoff, A. (Villefranche, Paris)	(15)	В	Matières organiques dissoutes
Morin, P. (Roscoff/Brest)	(6)	Α	Cycle des nutrilites et de la MOD
Peinert, R. (Monaco/Kiel)	(16)	В	Pièges à sédiment
Picheral, M. (Villefranche)	(3)	В	Filet à nappes
Pizay, MD. (Villefranche)	(3)	Α	Nutrilites
Poulain, A. (Marseille)	(1)	Α	Carbone organique dissous
Prieur, L. (Villefranche)	(1)	AB	Chef de mission. Biophysique
Raunet, J. (Villefranche)	(1)	AB	Acquisition des données
Riso, R. (Brest)	(13)	Α	Métaux : cuivre, cadmium, plomb
Sournia, A. (Roscoff/Paris)	(17)	Α	Chef de projet. Phytoplancton
Tailliez, D. (Villefranche)	(1)	AB	Acquisition des données
Thibault, D. (Marseille)	(8)	В	Métabolisme du zooplancton
Vergnaud-Grazzini, C. (Paris)	(7)	В	Messages sédimentaires
Videau, C. (Brest, Paris)	(18)	В	Production primaire, taux de croissance
Zakardjian, B. (Villefranche)	(1)	Α	Hydrologie; modélisation biophysique

Intervenants à terre et collaboration après-campagne

Copin-Montégut, G. (Villefranche)	(1)	Carbone organique dissous
Davies, P.A. (Dundee)	(19)	Thermographie satellitaire
Errhif, A. (Alger/Villefranche)	(3)	Copépodes
Etienne, M. (Villefranche)	(3)	Informatique
Fiala, M. (Banyuls)	(20)	Picoplancton
Folkard, A. M. (Dundee)	(19)	Thermographie satellitaire
Laube-Lenfant, E. (Paris)	(7)	Marquages isotopiques
Leborgne, P. (Lannion)	(22)	Cartographie thermique
Pedrotti, M.L. (Villefranche)	(3)	Zooplancton
Pierre, C. (Paris)	(7)	Messages sédimentaires
Poulet, S.A. (Roscoff)	(6)	Ecophysiologie du zooplancton
Raimbault, P. (Marseille)	(8)	Nutrilites et NOD
Seguin, G. (Nice/Villefranbche)	• (3)	Copépodes
Van Wambeke, F. (Marseille)	(5)	Bactériologie

Les adresses (numéros entre parenthèses) sont données p. 8

TABLE DES STATIONS

Les 8 pages suivantes donnent le tableau synoptique des travaux réalisés en station. Le numéro de station était incrémenté à chaque profil de CTD ; lors des opérations Tow-Yo, il était incrémenté à chaque montée ou descente. A chaque profil correspond un fichier «Résultats CTD» sur disquette.

Les colonnes donnent successivement, de gauche à droite :

NST:

numéro de station

TIME UT + 2:

mois, jour, heure et année

LAT LONG:

latitude N et longitude W en degrés, minutes et centièmes

TYPE:

type de station:

ROS:

rosette (* avec prélèvements pour nutrilites, chlor. a, oxygène; ** avec, en outre, prélèvements pour COD, TCO₂, pH, ¹³C, COD, NOD, bactériologie, Coulter,

métaux

TRAPS:

près de la ligné de pièges dérivants ; prélèvements pour

analyses particulaires

TOW-YOm:

profil Tow-Yo, sans prélèvements

THES:

station THES (SHET) 0-200 m sans rosette;

prélèvements continus

Zbot : Zmax :

profondeur du fond au début de la station profondeur maximal atteinte par la CTD

Z bottle:

profondeurs des prélèvements effectués à la remontée

par la rosette

CTD ETS:

profil avec prélèvements pour ETS et O₂

CTD PC: CTD MPMD: profil avec prélèvements pour pigments photosynthétiques profil avec prélèvements pour matière lipidique et MOD

CTDPP:

profil avec prélèvements pour production primaire

		· · · · · · · · · · · · · · · · · · ·								• • • •							
				 	_	!					bot						
NST	TIME UT+2	LAT LONG	TYPE	Zbot	Zmax	1 1	2	3 		-	:	:	:	9 	10 	11	12
1 1	4 27 14:50: 0 1991	37.2940758936	ROS **	132	101	103	1 103	103	: :	:	:	 63	:	43	 33	23	13
2	4 27 17:50: 0 1991	37.2317958939	1	2032		1 103	105 	, 103 	75 	05 	,,, 	03 	J.5 	43	33 	23	, 13
i ši	4 27 19:26: 0 1991	37.2327658272	ROS **	:		1009	750	503	 353	 221	131	 100	, 81	66	46	21	ĺ
j 4 j	4 27 22:22: 0 1991	37.1670559017	ROS *	2495	1009	i	i	İ	i	i	İ	i	i	i	İ	i :	ĺ
5	4 28 0: 0: 0 1991	37.1624958928	ROS **	2504	1009	1011	750	380	299	230	150	130	100	65	45	26	6
6	4 28 2: 7: 0 1991	37.1093959115	ROS **	2546	1010	1011	1011	750	500	350	249	179	111	80	70	60	35
7	4 28 5:40: 0 1991	37.0476158873	ROS **	2570	1004	1003	750	501	370	192	145	106	82	67	40	33	6
8	4 28 7:52: 0 1991	36.5891058885	ROS **	:		977				:		:		: :			
9	4 28 11:37: 0 1991	36.57402 -1.06594	ROS *	:		1008		•		•	•	•	•				
10	4 28 13:10: 0 1991 4 28 15:19: 0 1991	36.56228 -1.13747	ROS **	:		1014		:				-	-				
11	4 28 17:12: 0 1991	36.54948 -1.21118 36.53699 -1.28227	ROS * ROS **			1009			: :		:	:	:	: :			
1 13	4 28 21: 0: 0 1991	36.48667 -1.32748	ROS *			1011 1011			•		•	•	•				
14	4 28 22: 7: 0 1991		ROS **	:		1011						:	:	76			
15	4 29 0:14: 0 1991	36.38969 -1.41903	ROS *			984			: :		:	•		75			_
16	4 29 2: 3: 0 1991		ROS **	:	1009	:			: :		:	•	•	75			
j 17 j	4 29 5:21: 0 1991	36.29341 -1.50517	ROS *	:	1007	•					•	•	•				_
18	4 29 6:59: 0 1991	36.24433 -1.55046	ROS **	1554	1008	1009	750	501	336	250	164	105	81	66	45		
19	4 29 8:45: 0 1991	36.19800 -1.59500	ROS *	1773	1009	•					•	•	•				7
20	4 29 10:17: 0 1991	36.14836 -2.03954	ROS **	1927	1009	1011	750	501	380	300	220	120	79	64	45	20	6
21	4 29 13:17: 0 1991	36.09869 -2.08942	ROS *	1960	1009	1011	751	500	300	200	150	120	96	63	43	31	6
22	4 29 15:31: 0 1991	36.05093 -2.13894	ROS **	1944	1011	1012	751	500	300	231	181	135	101	69	49	18	6
23	4 29 17:29: 0 1991		ROS *		1003	: :			: :			:	:	: :			
24	4 29 19:18: 0 1991		ROS **	960		908			: :			:	•	: :			
25	4 29 21:56: 0 1991	-	ROS *	648		605						•					
26	4 29 23:22: 0 1991		ROS **	578		531			: :					: :			
27 28	4 30 0:59: 0 1991 4 30 3:54: 0 1991	35.35974 -2.18822 35.39464 -2.47790	ROS *	404		354								: :			
29	4 30 6:19: 0 1991		ROS ** ROS **	449 560	406 502	:	300							: :			
i 30 l	4 30 7:41: 0 1991		ROS **	832		504 801			:					: :			
31	4 30 9:18: 0 1991		ROS **	1175		1011								: :			
32	4 30 11: 0: 0 1991		ROS **		1009	: :			: :					: :			
33	4 30 13:56: 0 1991	36.07434 -2.42317	ROS **	:	1703	: :			: :					: :			
34	4 30 16:26: 0 1991	36.12309 -2.45769	ROS **	1837	1747	1734	1000							: :			6
35	4 30 18:29: 0 1991	36.17461 -2.49577	ROS **	1388	1291	1288	1001	750	400	371	131	101	71	50	23	13	6
36	4 30 20:19: 0 1991	36.22306 -2.53361	ROS **	987	938	940	750	550	468	260	200	97	70	52	33	15	6
37	4 30 23: 9: 0 1991		ROS **	719	664	667	500	399	300	199	120	74	49	38	29	15	5
38	5 1 1:22: 0 1991		ROS *	659	604	607	480	321	251	150	130	111	80	55	35	25	4
39	5 1 2:56: 0 1991		ROS *	1122		1006	:								:		
40	5 1 4:43: 0 1991		ROS *	1550	999	999	:			:				46		13	
41 42	5 1 6:12: 0 1991 5 1 7:51: 0 1991	36.15790 -2.29966 36.09924 -2.29823	ROS *	1724		1001 1000			360							13	:
: :	5 1 7:51: 0 1991 5 1 9:30: 0 1991			1851		1000 1001									•	23	
44			ROS *	•	999 1305			•			•						
45				1315		1307 1000		800		600		400		500		20 350	
46	:				299	: :	, !	250		225		201		176		150	ļ
47					149		125		•	•		•		•			5
48		•			1001												
49	5 2 0:11: 0 1991			•	1022		•			•		•					
50	5 2 2: 2: 0 1991	35.53911 -1.51004	ROS *		1010												
51	5 2 3:55: 0 1991	35.47969 -1.50868	ROS *		1005												
52	5 2 5:35: 0 1991			806	752	751	406	331	200	177	156	131	111	54	38	23	6
53	5 2 7: 3: 0 1991		ROS *		830	832	406	331	141	94	75	68	47	39	24	14	7
54	5 2 8:35: 0 1991		ROS *	627		581											
55	5 2 9:58: 0 1991		ROS *	369	317		320		•		•	•					•
56	5 2 13:16: 0 1991				394												
57	5 2 14:57: 0 1991		ROS **		1005			•							•		•
58 50	5 2 17:58: 0 1991	•			998												
59 60	5 2 19:25: 0 1991 5 2 21: 6: 0 1991			2414	999	1000	2/01	389	315	2201	150	101	80	50	50	24	8
, 1	5 2 21: 6: 0 1991	JU.01100 -1.20410	KUO "	2332	1010	1012	147	477	J47	22Y	101	131	74	20	اه <i>د</i> 	ا02	• [

				 1		 I	· • • •			 7	boti	 ما					
NST	TIME UT+2	LAT LONG	TYPE	 Zbot	Zmax	 1	2	3	4				8	9	10	11	12
ji				j		ļ	ii		ļ	ļ				Ì			
61	5 2 22:50: 0 1991	36.12615 -1.16004	ROS *	•	1000	!	: :		:	:							
62	5 3 1:56: 0 1991	36.17296 -1.11564	ROS *	:	1008 1002		: :		:	:							
63	5 3 3:54: 0 1991 5 3 5:37: 0 1991	36.21827 -1.07325 36.26938 -1.02846	ROS *	2630	999				:						74		:
65	5 3 7:15: 0 1991		ROS **	2657		1001	:		:								
66	5 3 10: 4: 0 1991	36.3649653710	ROS *	2667	1001	•			•	•	•						
67	5 3 13:12: 0 1991	36.2496533870	ROS *	•	1041	•			•	•	•	: :				:	
68	5 3 14:58: 0 1991	•	ROS **		1008	•	: :		•								
69	5 3 16:44: 0 1991	36.1627423935 36.11815 .18792	ROS ** ROS **	2660		1000 1001	: :		:	•	:	:					
70 71	5 3 19:37: 0 1991 5 3 21:11: 0 1991	36.1181518792 36.0744813581	ROS **	2662 1680		1001			:	:	:						
72	5 3 22:46: 0 1991	36.0350308956	ROS **	371		341	: :		:	:	:					:	
73	5 4 5: 2: 0 1991	36.44445 -1.15213	ROS *	2592	1002	1004	751	600	440	371	200	140	110	70	50	34	6
74	5 4 6:50: 0 1991	36.39636 -1.19677	ROS *	2448	2199	2199	2199	1000	750	601	401	146	128	108	74	55	20
75	5 4 10:24: 0 1991	36.34857 -1.24381	ROS *	•	1001	:	: :		:	:	:	:					_ :
76	5 4 12: 0: 0 1991	36.30021 -1.28737 36.35005 -1 33205	ROS *		1000	1002 1010			•	:	:						:
77 78	5 4 13:42: 0 1991 5 4 15:25: 0 1991	36.25095 -1.33205 36.20355 -1.37571	ROS * ROS *	•	1008 1009	•			:	•	•						: :
79	5 4 19:21: 0 1991	36.15583 -1.42280	ROS *	1985		1000			:	:	:				36	- :	: :
80	5 4 20:55: 0 1991	36.10880 -1.46482	ROS *	1960		1002			·							:	
81	5 4 23:29: 0 1991	36.25551 -2.02975	ROS *	1408	1000	1001	780	450	341	249	160	100	70	49	29	16	6
82	5 5 1: 3: 0 1991	36.31451 -2.04609	ROS *	:		1010	: :								49		_ :
83	5 5 3:59: 0 1991	36.37386 -2.06617	ROS *	521	469	471	360	320	280	150 	120 	9 0 	75	58	36	18	5
84 85	5 5 16:34: 0 1991 5 5 16:45: 0 1991	36.01517 -2.44463 36.00954 -2.43975	TOWYO1	630	547 539		[[i I	 	 	 			1 1	1	. I
86	5 5 16:57: 0 1991	!	TOWY01	723	599	i			i	<u> </u>	İ	<u> </u>	i			i	i
87	5 5 17:11: 0 1991	36.00282 -2.43322	TOWY01	778	578	i	i i		i	İ	İ	i	i		i	i	⊢i
88	5 5 17:19: 0 1991	35.59869 -2.43018	TOWY01	887	600	Ì			ĺ	l	l	l	1			- 1	
89	5 5 17:37: 0 1991	35.59475 -2.42715	TOWY01	1020	592	!	!!		!	ļ	!	!					<u> </u>
90	5 5 17:58: 0 1991	:	TOWY01	1093	599	ļ			ļ		!					- 1	ı [
91		35.58481 -2.42108 35.57607 -2.41685	TOWYO1 TOWYO1	1118 1150	594 599	}	} 		 	 	 	 		 		 	, I
93	5 5 18:51: 0 1991	35.57164 -2.41449	TOWYO1	1161	591	i			i	! 	¦	<u> </u>				i	
94	<u>.</u>	:	TOWY01	1174	599	:	i		i	i	i	i		i	i	i	i
95	5 5 19:19: 0 1991	35.56244 -2.41073	TOWY01	1171	589	Ì	İ		ĺ	İ	ĺ	İ	İ			ĺ	ĺ
96	5 5 19:34: 0 1991	35.55776 -2.40861	TOWY01	1167	599	1						!					
97	5 5 19:46: 0 1991	:	TOWY01	1148	591	:			ļ	!	ļ					ļ	
98	5 5 20: 0: 0 1991 5 5 20:13: 0 1991	:	TOWYO1 TOWYO1	1122 1090		:	i :			 	 	 				1	. !
1 100	5 5 20:27: 0 1991	:	TOWYO1	1049	577 597	:	! ! ! !		 	! 	! 	! 			 		1
101	5 5 20:39: 0 1991	35.53793 -2.40115		1015	589	:			i	i	i	i			ij	i	i
102	5 5 20:53: 0 1991	35.53350 -2.39902	TOWY01	958		:	į į		Ì	İ	İ	İ	İ		i i	į	i
103	•	:	-	:	585	:			ļ	ļ.	ļ	ļ					
104	:	35.52551 -2.39512	:	:		:			[ļ	ļ	!				ļ	. !
105	!	:	-	:		:	j (
106 107		:	-			:	 		I I	 	! 	! 				l I	. I
108	<u>.</u>	35.50911 -2.38833	:	:		:	;		i	İ	İ				1	i	. !
108	:	•	1	:		:	i i		İ	İ	İ	İ			i	i	⊢i
110	5 5 22:40: 0 1991	35.50237 -2.38568	TOWY01	710	597	ļ.	ļ i		ļ					ļĺ	ĺ	j	į į
111						:	!!								!	ļ	
1112	<u>'</u>	:	TOWYO1	:		:			1	i I	 	 				ļ	, <u>]</u>
1113		35.49061 -2.37765 35.48694 -2.37448			585 569	:	! 		1	! 	! 				 	- 1	. 1
115		•				:	i i			i	i				ij	i	i
116		35.48027 -2.36955		:		:	j i		j	İ	İ	i			i i	j	i
117	5 6 0:11: 0 1991	35.47605 -2.36586	TOWY01	606	536	ŀ	l İ		1	1	1	l		l	Ιİ	j	ıİ
118	•	35.47189 -2.36253	•	•		:			1	!	!					- 1	ļ ļ
119		35.46884 -2.35989	-	:		:]		l				. !	!	<u>. </u>
120	5 6 0:38: 0 1991	35.40083 -2.35813	IOWYOT	620	588		 		 	l	 	l 			 	 	

No. Control									• • • • • •										• • • • •		
122 5 6 1; 4; 0 1991 35.46230 2.35453 Tourol 653 582				TIME III		LAT LONG	TYDE	l 7bot	7000		1 2	1 7	۱ ۲				1 8		1 10	111	 12
122 5 6 1:19:0 1991 35,4578 2-33140 TOWOIL 709 600	"	21	 	IIME U	+2	LAI LONG	ITPE	250t 	2mmx	' 	~ 	3 	- 			¦	° 	, 			
122 5 6 1:19:0 1991 35.4578 2-33140 Tomrol 709 600	1 1	21	5	6 1: 4:	0 1991	35.46230 -2.35453	TOWY01	653	582	i	i	i .	i	ĺ		i	i	i	ii	İ	i
128 5 6 14-00 1991 33-45251 23-4647 TOMOI 590 590 1 1 1 1 1 1 1 1 1		3				•	: .	709	600	i	i	i	İ	İ	i	i	i	i	i i	Ì	İ
128 S	j 1	23	5	6 1:30:	0 1991	35.45565 -2.34988	TOWY01	713	602	ĺ	ĺ	ĺ	ĺ	ĺ			ĺ	ĺ	İ		
126 5	1	24	5	6 1:40:	0 1991	35.45251 -2.34697	TOWY01	590	590	l	1	l	l				l				
127 5	1	25	5	6 1:54:	0 1991	35.44910 -2.34433	TOWY01	649	579	l	l	l	1			1		l	1 1		l l
128 5 6 2-35: 0 1991 35.4320 - 2.3350 TOMPO1 725 597	1	26	5	6 2: 5:	0 1991	35.44593 -2.34300	TOWYO1	654	595		!	1		•		ļ		ļ			ļ
129 5 6 2-50: 0 1991 33.4220 2.33140 TOMO1 649 589	1	27	5					:		:	!		!	!				!	!!		!!
130 5 6 31:61 0 1991 35.42720 2.32742 TOMYOI 638 599	:		_			!		:		:	!			!			[!	!!		ļ
131 5 6 31:19 0 1991 35.42221 2.32384 TOMYOI 613 553	:									:	!		 	ļ					!!		
132 5 6 31:46: 0 1991 35.41476 -2.31420 TOMYO1 500 513		:					: .	1		:	!	!	 	 		 	1	1	: :		
133 5 6 31-46 0 1991 35.4108 2.3152 10m/01 540 499	:	. :								:	:		! 	† 		ľ	1	<u> </u>	¦ ;		i
135 5 6 4:10:10 1991 35.40681 - 2.31462 TOMPOI 532 481		:				:		: : :			i		i			i	i	i	i i	i	i
135 5 6 4:21: 0 1991 35.40881 -2.31168 TOMPOI 532 488	•						:			:	i	i	į	i		İ	i	i	i i		i
137 5 6 4:151 0 1991 33.39952 -2.30444 TOMTO1 503 437	j 1	35				:	: .	532	481	i	i		İ	İ	İ	ĺ	i	i	i i		i
138		:				1	:	532	448	ĺ	l	İ		1		l	1	l	Ιİ	ΙÌ	⊢i
139	1	37	5	6 4:34:	0 1991	35.39952 -2.30649	TOWY01	503	437	1	Ι.		1		l	1	l	l	Ιİ	l	ı
140	1	38 Ì	5	6 4:45:	0 1991	35.39540 -2.30444	TOWY01	495	432	1	l		1			1		l			
141 5 6 5:20: 0 1991 35.38338 - 2.29669 TOMPO1 463 396	1	39	5	6 4:57:	0 1991	35.39110 -2.30153	TOWY01	481	421	l	l		ı			l		l			
142 5 6 6 5:30: 0 1991 35.37077 -2.20413 TOMYO1 453 395	•					!	:	470		:	!		1			!		ļ			1
143 5 6 5:40: 0 1991 35.37660 - 2.29194 TOWTO1 444 384			5			•				:	!	!	!			ļ .		!			
144 5 6 10:38: 0 1991 35.32416 -2.04731 TOMYO1 666 588		:	_				•			ļ .			!	!			<u> </u>	!	!!		!
144 5 6 10:38: 0 1991 35.32416 - 2.04731 TOMPO2 666 588						!	<u>.</u>			!			ļ .			ļ	!		!!		!
146 5 6 11: 9: 0 1991 35.33566 -2.05024 TOMYOZ 671 569										!	!			<u> </u>		!					!
147 5 6 11:52: 0 1991 35.35176 -2.04993 TOMYO2 691 596							•			ļ			į	!					!!	1	!
148 5 6 12: 6: 0 1991 35.35704 -2.05012 TOMYO2 709 577	•						:			! !			ļ	! 							1
149 5 6 12:20: 0 1991 35.36210 -2.05042 TOMYO2 726 597	•									! !			 	 			1		: :	ŀ	¦
150 5 6 12:33: 0 1991 35.36602 -2.04996 TOMYO2 740 587			_				_	:					1 	 	;		1		1	ŀ	ľ
151 5 6 12:47: 0 1991 35.37088 -2.04977 TOMYO2 750 595						1	:	:		:		l .	! !				1	i	ii		i
152 5 6 13: 1: 0 1991 35.37690 -2.04970 TOMYO2 752 586	•	3								:			i				i		ii	i	i
154 5 6 13:34: 0 1991 35.38917 -2.04978 TOMYO2 786 579		:					:	:		i			i	i		ĺ	i		i i	i	i
155 5 6 13:49: 0 1991 35.39490 -2.04966 TOMYO2 798 598	j 1	53 j	5	6 13:18:	0 1991	35.38270 -2.04970	TOWY02	768	246	i	i		İ	i			i	i	i i	i	i
156 5 6 14: 5: 0 1991 35.40067 -2.04981 TOMYO2 790 586	1:	54	5	6 13:34:	0 1991	35.38917 -2.04978	TOWY02	786	579	İ	i		Ì	i			İ	İ	i i	i	i
157 5 6 14:19: 0 1991 35.40638 -2.04975 TOMYO2 794 598	1	55 j	5	6 13:49:	0 1991	35.39490 -2.04966	TOWY02	798	598	j .	İ		ĺ	İ			İ	İ	ĺ	İ	İ
158 5 6 14:35: 0 1991 35.41238 -2.04970 TOMYO2 802 561	1	56	5	6 14: 5:	0 1991	35.40067 -2.04981	TOWYOZ	790	586								1 1				- 1
159 5 6 14:50: 0 1991 35.41841 -2.04964 TOMYO2 816 598	1 1	57	5	6 14:19:	0 1991	35.40638 -2.04975	TOWY02	794	598								1 1			1	- 1
160 5 6 15: 7: 0 1991 35.42498 -2.04964 TOMYO2 831 585	1 1	58	5	6 14:35:	0 1991	35.41238 -2.04970	TOWY02	802	561								1			- 1	ļ
161 5 6 15:23: 0 1991 35.43205 -2.04976 TOMYO2 826 598			_														! !		ļļ	ļ	ļ
162 5 6 15:41: 0 1991 35.43931 -2.04987 TOMYO2 826 560		:				:											!!		ļļ	ļ	ļ
163 5 6 15:59: 0 1991 35.44682 -2.04969 TOMYO2 840 605	•							!											!	. !	ļ
164 5 6 16:16: 0 1991 35.45446 -2.04929 TOMYO2 835 594		:																		ļ	ļ
165 5 6 16:48: 0 1991 35.46426 -2.04964 TOMYO2 857 604		:															 		 !	ļ	ŀ
166 5 6 17: 7: 0 1991 35.47090 -2.04975 TOMYO2 932 591	•					:		•				; ;					I 1		 	1	!
167 5 6 17:21: 0 1991 35.47654 -2.04979 TOMYO2 984 600	: .	:				•		•				i 					 	 	 	1	!
168 5 6 17:36: 0 1991 35.48116 -2.04990 TOMYO2 1031 590		- :				•		•									, !		! !	1	- !
169	: .					:		:		i					 					¦	i
170 5 6 18:19: 0 1991 35.49786 -2.04950 TOMYO2 1462 586	: .							:												i	j
171 5 6 18:38: 0 1991 35.50430 -2.04950 TOMYO2 1462 595	•					:		•		i	i '						i		i	i	i
172 5 6 18:54: 0 1991 35.51050 -2.04936 TOMYO2 1704 584		:				:		:		i			i		Ì		i	i	i	i	i
173 5 6 19:12: 0 1991 35.51738 -2.04939 TOMYO2 1773 597	:					:		:		: :	j	i		Ì	i		į i		i	i	i
175 5 6 19:45: 0 1991 35.52965 -2.04918 TOMYO2 1896 599		_ :				: :					l i		l i	Ιİ	ı i		ı i		Ιi	i	i
176 5 6 19:59: 0 1991 35.53428 -2.04915 TOMYO2 1950 591	11	74 j	5	6 19:28:	0 1991	35.52312 -2.04927	TOWY02	1718	587	l	l	ı İ	l	Ιİ	Ιİ		lÌ	l	Ιİ	ĺ	į
177 5 6 20:15: 0 1991 35.53903 -2.04953 TOMYO2 1968 597	1	75	5	6 19:45:	0 1991	35.52965 -2.04918	TOWY02	1896	599	l							li		ĺ	İ	1
178 5 6 20:29: 0 1991 35.54387 -2.04958 TOMYO2 1965 590	1	76	5	6 19:59:	0 1991	35.53428 -2.04915	TOWY02	1950	591											١	1
179 5 6 20:43: 0 1991 35.54900 -2.04998 TOWYO2 1951 598	11	77	5	6 20:15:	0 1991	35.53903 -2.04953	TOWY02	1968	597						- 1	1				ı	- 1
	11	78				:									ı	- 1				١	ı
180 5 6 20:58: 0 1991 35.55397 -2.04983 TOMYO2 1930 591	•	•													- 1	1				- [ļ
	18	BO	5	6 20:58:	0 1991	35.55397 -2.04983	TOWYO2	1930	591						ı	l				1	ı

										· ·	 bate	 . l .					
			TVDE	l Zhat '	7may	 1	۱ ء	3	1 4		bott		18	9	101	11!	12
NST	TIME UT+2	LAT LONG	TYPE	Zbot		' 		J 		 	 		 				
181	5 6 21 12 10 1991	35.55894 -2.05007	TOWYO2	l 1960	613		i	i '	i				i		i	i	i
182	5 6 21:28: 0 1991		_		600		i	i	i	i	ĺ	İ	i :		İ	İ	ĺ
183	5 6 21:43: 0 1991	35.56894 -2.05008	TOWYO2	2000	599		İ	j	İ	İ			1	:		- [. 1
184	5 6 21:58: 0 1991	35.57388 -2.04993	TOWY02	1904	594		ĺ	ĺ				1	l	ı			
185	5 6 22:11: 0 1991	35.57846 -2.05018	TOWY02	1788	598		l	1				l	l	1			ļ
186	5 6 22:28: 0 1991	35.58310 -2.05013	TOWY02	1639	588		l	l	l	l		1	1				ļ
187	5 6 22:42: 0 1991	35.58797 -2.05024	TOWY02	1530	598		İ	l	İ	l		!	ļ	!	!!		
188	5 6 22:56: 0 1991	35.59268 -2.05008	TOWY02	1452	585	l	ļ	ļ	ļ	ļ .		!	ļ .	!	!!		. !
189	5 6 23:11: 0 1991	35.59776 -2.05013		:	595	ļ	ļ .	ļ	ļ	ļ.		!	!				
190	5 6 23:26: 0 1991		TOWY02		580	ļ		ļ	!	!			!	!			
191	5 6 23:40: 0 1991			:	598	:	ļ	1	!	!	!		!	 			
192			TOWYO2		589	:	 	l I	l t	 	l I	 	!	! 			
192				:	589 595	:	l I	 	:	i i	! !	l L	l	: 			i
194		:			587	:	ŀ	i i	¦	ŀ	! 	i	i	i	ii		i
195	5 7 0:24: 0 1991 5 7 0:39: 0 1991		TOWYO2		598	:	i	i	i	i	ĺ	i	i	i		ĺ	i i
196	5 7 0:39: 0 1991 5 7 0:53: 0 1991		TOWYO2		591	:	i	i	i	i	i	i	i	i	i i	i	i i
197 198	5 7 1: 8: 0 1991	36.04006 -2.05004	TOWYO2	2000	597	:	i	i	i	i	i	i	i	i	i i	ĺ	i i
199	5 7 1:22: 0 1991	<u>:</u>	TOWYO2		586	i	i	ĺ	i	i	İ	ĺ	İ	ı	1		l İ
200	5 7 1:37: 0 1991		TOWY02	:	599	İ	İ	İ	Í	ĺ	l	l	1	l	1		ı
201	5 7 1:52: 0 1991	36.05605 -2.05010	TOWYO2	1957	589	ĺ	İ	l		1	l		1			١	
202	5 7 2: 8: 0 1991	36.06244 -2.05013	TOWYO2	1930	599		1	i			İ	i	1	ļ		l	
203	5 7 2:24: 0 1991	36.06855 -2.05015	TOWY02	1868	588	l	1	1	1		l	1	1			ļ	!!
204	5 7 2:39: 0 1991	36.07431 -2.04995	TOWY02	1896	600	Į.		l	1	1		ļ			!	ļ	!!
205	5 7 2:55: 0 1991	36.08091 -2.04999	TOWY02	1923	591	l			ļ	ļ	ļ	!	ļ	ļ	ļ	!	!!
206	5 7 3:12: 0 1991	36.08799 -2.05021	TOWY02	1937	599	ļ	!	ļ	ļ	!	ļ .	ļ	ļ	ļ		•	
207	5 7 3:28: 0 1991	36.09422 -2.05016	TOWY02		589	ļ	ļ	!	ļ	ļ	!	!	1	!	ļ		
208	5 7 3:44: 0 1991	:	:		599	:	1	ļ	1	ļ			!	1	ļ	 	
209	5 7 3:59: 0 1991		TOWYO2		590	:	!	!	!	!	1	1	l i	ŀ	1	1 1	; ; ; ;
210	:	•	TOWYOZ		597	:	!	1	1	!	l I	!	i	1	! 	ŀ]
211		36.11628 -2.04989	TOWYO2	:	590 599	:	1	ł	1	!	 	l	ŀ	i	i		ii
212	5 7 4:41: 0 1991	36.12096 -2.04996 36.12613 -2.04993	TOWYO2		590	1	i	ł	¦ .	1	ì	i	i	ľ	i	i	ii
213		35.45000 -1.46420	TOWYOZ	776	589	!	¦	ì	i	i	i	i	i	i	i	i	i i
214	1	35.45573 -1.46801	TOWY03	826	566	:	i	i	i	i	i	i	i	i	i	i	i i
216		35.46194 -1.46999	TOWY03	891	597	:	i	i	i	i	i	i	i	i	i	į	i i
217	5 7 10:50: 0 1991	35.46801 -1.47006	TOWY03	!		:	i	i	i	i	i	i	i	İ	İ	İ	i i
218	5 7 11: 8: 0 1991	•	TOWY03	1305	595	i	i	i	i	İ	ĺ	İ	ĺ	İ	1	1	1 1
219	5 7 11:23: 0 1991	35.47972 -1.47002	TOWY03	1373	578	ĺ	j	ĺ	Ì	1	l	1	1				
220	5 7 11:38: 0 1991	35.48494 -1.46995	TOWY03	1359	588	1	1	!	1	ļ	1	1	1	1	ļ	ļ	ļ I
221	5 7 12: 0: 0 1991	35.49374 -1.46984	TOWY03	1447	576		I		ļ	ļ	İ	İ	!	!	ļ	ļ	!
222		35.50180 -1.46996	TOWY03			!	!	İ	1	!	ļ	ļ	ļ	!	!	!	!
223		35.50830 -1.47000					İ	ļ	ļ	!		!	ļ		!	1	
224	1	35.51477 -1.47005					!	ļ	ļ	!	-	ļ	!	!	1	1	i
225	•	35.52086 -1.46976		:		:	ļ	ļ	!	!	!	!	!			!	1
226	:	35.52715 -1.46997				:	!	ļ	1	l		1			1	1	1
227	•	35.53232 -1.46994	•	:		:	1	!	1	-	1	1	1	-	1	1	
228	•	35.53787 -1.46974				:	1	I	I	1	i I	1	1	1	1	1	ŀ
229	,	35.54377 -1.46998	TOWY03	•		:	-	!	i		1	ŀ		i	l	i	i
230	·	35.55009 -1.47001	: _	:			i	1	i	i	1	i	i	i	i	i	i
231	•	35.55650 -1.47005 35.56320 -1.46985	•	•		:	i	i	i	i	i	i	i	ì	i	i	i
232	5 7 15:30: 0 1991	•				:	i	i	i	i	i	i	i	i	i	i	i
	5 7 15:47: 0 1991					•	i	i	i	i	i	i	i	i	į	İ	1
235		35.58523 -1.46999					i	i	i	İ	İ	İ	Ì	ĺ	İ	1	
•	5 7 16:51: 0 1991	•		_		:	İ	İ	İ	ĺ	l	l	1	1	1		1
	5 7 17: 5: 0 1991				588	ĺ	İ	İ	1	1	1	1	1	1			
	5 7 17:21: 0 1991				598	1	İ	1	1	1	1	1	1	1	1		1
	5 7 17:36: 0 1991				572	1	1	1	ı	1	1	1	1	1		1	!
	5 7 17:36: 0 1991				596	1	1	1	1	1	1		1	ı	I	1	ı

										 -	·						
	-	147 1000	l TYPE	 7 6.56	7		۱ ،	1 7	1.7		bot1		1 0	ΙO	1 101	11	12
NS	T TIME UT+2	LAT LONG	TYPE	ZDOT	Zmax	' 	2 	3 	4 	[]] 		<i>'</i> 	0 	y 	10 		12
24	1 5 7 18: 2: 0 1991	36.02056 -1.47007	I TOWYO3	2089	589	1 1	¦ -	! !	¦			! 	! !		1		
24			TOWY03	2089	599	1	l I	! 	i	i			i	i :	: !		
24	. :		TOWY03	:	591		i) 	<u> </u>	i i		i	i	i			
24				2087	599	.	i	i	i				i	i	i i		
24	. :		TOWY03		591	i	i	i	ì			i	i	i	i		İ
24		36.04324 -1.46996	TOWY03	:	598	i	Ϊ	i	i	i		i	i	i	i		
24	_ :		<u>'</u>		589	i	İ	i	i	i			i	i	i i		i
24	. :			:	599	i	ĺ	i	i	i			i	i	i		ĺ
	9 5 7 19:49: 0 1991		TOWY03	2108	593	i i	i	i	i	i		ĺ	i	i.	i		
25			TOWY03	2112	598	i i	i	i	i	i		i	i	i	i		ĺ
j 25	1 5 7 20:15: 0 1991	36.06512 -1.46999	TOWY03	2111	583	i i	i	i	i	İ		ĺ	İ	İ	i i		ĺ
j 25	2 5 7 20:29: 0 1991	36.07055 -1.47018	TOWY03	2099	597	i i	i	i	i	İ			ĺ	Ì	İ		
j 25	3 5 7 20:43: 0 1991	36.07536 -1.46998	TOWY03	2080	586	j	İ	İ	İ	ĺ	i	ĺ	ĺ	ĺ	ĺ		
25	4 5 7 20:57: 0 1991	36.08023 -1.46996	TOWY03	2060	597	İ	Ì	ĺ	ĺ	ĺ		ĺ	ĺ	ĺ			
25	5 5 7 21:12: 0 1991	36.08595 -1.47021	TOWY03	1992	583		ĺ	ĺ	ĺ	ĺ	İ		l				
25	6 5 7 21:27: 0 1991	36.09163 -1.47014	TOWY03	1953	598		Ì	1	ĺ	l	İ	1	1	١			
25	7 5 7 21:41: 0 1991	36.09703 -1.46989	TOWY03	1954	587	l İ		l	l				1		l		
25	8 5 7 21:55: 0 1991	36.10178 -1.46987	TOWY03	1956	599	l i	l	ŀ	1	1	l	l			l		
25	9 5 7 22: 9: 0 1991	36.10677 -1.47005	TOWY03	1954	589		1	İ		1							
26	0 5 7 22:22: 0 1991	36.11155 -1.46996	TOWY03	1956	598		1	l		1		1					
26	1 5 7 22:36: 0 1991	36.11710 -1.47013	TOWY03	1959	571		1	l				l	l				
26	2 5 7 22:52: 0 1991	36.12249 -1.47006	TOWY03	1960	597			ŀ	1	1		l	l				
26	3 5 7 23: 6: 0 1991	36.12711 -1.47013	TOWY03	1956	591		1	i		1				l	1		
26	4 5 8 4:35: 0 1991	35.44703 -1.24762	TOWY04	442	351			l	1			1	l				
26	5 5 8 4:42: 0 1991	35.45025 -1.24859	TOWY04	430	336		1		1	1					1		
26	6 5 8 4:53: 0 1991	35.45388 -1.24909	TOWY04	437	399		1		1	1	1	1			1		
26	7 5 8 5: 2: 0 1991	35.45711 -1.24937	TOWY04	463	391		1	1		1	1		l	1	1		
26	8 5 8 5:11: 0 1991	35.46077 -1.24952	TOWY04	500	451		1		1	!			l	l			
26	9 5 8 5:22: 0 1991	35.46433 -1.24977	TOWY04	535	444		1	l		1			l	l			
27	0 5 8 5:32: 0 1991	35.46837 -1.24995	TOWY04	577	589		1	l	l				1	l	į		
27	1 5 8 5:46: 0 1991	35.47340 -1.24993	TOWY04	659	580	:			1				l				l
27	2 5 8 6:0:0 19 9 1	35.47879 -1.25004	TOWY04	855	600			l		1		1		l			
27	3 5 8 6:15:01991	35.48411 -1.24997	TOWY04	1162	591	l i	i		1	1		1					
27	4 5 8 6:30: 0 1991	35.49002 -1.25000	TOWY04	1505	597		j	l	ļ	1	1			ł			ļ
27	5 5 8 6:45: 0 1991	35.49593 -1.24989	TOWY04	1636	587		l	į	1	1			l	l			
27	•	35.50195 -1.24985	TOWY04	1542	599			ļ	!	1			ļ				
27	7 5 8 7:14: 0 1991	35.50666 -1.24963	TOWY04	1749	592			ļ	ļ	ļ			ļ	!	! !		
27	8 5 8 7:29: 0 1991	35.51250 -1.24955	TOWY04	1734	598		!	1	ļ	ļ			ļ	!			į
27	. :			1772	589		!	1	ļ	ļ		!	ļ.		ļ ļ		ļ
28		35.52422 -1.24984	TOWY04	1851	598		!	ļ	!	ļ			ļ.	ļ			
28	•		<u>'</u>	•	587	ļ	!	į	1	ļ			!	ļ			
	2 5 8 8:30: 0 1991		:	:	593	i	!	ļ	1	!				1			
28	· ·			•	579		!	ļ	ļ	ļ		ļ		i] i
28			:	:			!	ļ	!	!		1	!	 			
28	:		:	:	580	1	!	1		!			 	 			
•	6 5 8 9:27: 0 1991		•	•	599	:	!	! !	l	l			l I	 			1
	•	35.56057 -1.25037	•	•	588	:	 	! !)
	8 5 8 9:55: 0 1991 9 5 8 10: 4: 0 1991			:	600 581	:] 	! !	l l	 		 	 	 	i		
	9 5 8 10:6:0 1991 0 5 8 10:23:0 1991		-	:	581 504	:	! !	!	 	1	 	 	l I	 	; 		l I
	0 5 8 10:23: 0 1991 1 5 8 10:27: 0 1991		:	:	596 571		! !	! !	1	1			 	 	! ! ! !		
	1 5 8 10:37: 0 1991 2 5 8 10:53: 0 1991			:	571 587	:	i !	! !	l I	i 1	 	l I	I I	 	i 		l I
	2 5 8 10:53: 0 1991 3 5 8 11: 7: 0 1991		•		587 578	: :	! !	! !	!			l 1	l I	 	 		l I
	3 5 8 11: 7: 0 1991 4 5 8 11:23: 0 1991			:	578 600	: :	l I	! !	1	 	 	 	l I) 	i 		l I
:	4 5 8 11:23: 0 1991 5 5 8 11:78: 0 1991		•	:	600	: :	 	 	i 1	 		 	 		 		l I
	5 5 8 11:38: 0 1991			:	582			! !	 	 			! 1				
	6 5 8 11:53: 0 1991		:	:	:	: :		! !	 	 			! !				
	7 5 8 12: 8: 0 1991 8 5 8 12:22: 0 1991				586	: :] 	l I	i I	 		l I		 		
	8 5 8 12:22: 0 1991		:	:	599	: :] 	l l	! ! !			! !				
	9 5 8 12:36: 0 1991			:		: :] 	i 1								
1 30	0 5 8 12:50: 0 1991	30.02/80 -1.249//	I I UWT U4	2400	377			l 	I	I	 	l 	 				

1			 1			 I				••••	boti	 					
 NST	TIME UT+2	 Lat Long	i TYPE	i Zbot Z	.max	 1	2	3	4		6		18	9	10	11	 12
301	5 8 13: 2: 0 1991	36.03210 -1.24988	TOWY04	2426	592		l l			İ		1		ĺ			
302	5 8 13:16: 0 1991	36.03700 -1.25007	!		601									!			
303	5 8 13:29: 0 1991		: .		593	!!											
304	5 8 13:44: 0 1991		:		600							l i .					. !
305 306	5 8 13:56: 0 1991			:	589 601							 					
307	5 8 14:21: 0 1991		:	:	596	: :				 		 		 			! !
308	5 8 14:33: 0 1991	!	TOWY04	:	599								i				
309	5 8 14:48: 0 1991		: .		591	i		i		i							ii
310	5 8 15: 2: 0 1991	36.07250 -1.24962	TOWY04	2661	600	i i		i						i			İİ
311	5 8 15:14: 0 1991	36.07391 -1.25017	TOWY04	2453	594	ĺ		İ		İ	ĺ						İ
312	5 8 15:26: 0 1991	36.08040 -1.25068	TOWY04	2460	601												l l
313	5 8 15:39: 0 1991				597												!
314	5 8 15:52: 0 1991				600	!!	. !				. !						
315	5 8 16: 5: 0 1991		TOWYO4		589	! ! ! !							1				!
316 317	5 8 16:27: 0 1991 5 8 16:40: 0 1991	36.09821 -1.25116 36.10266 -1.25073	TOWYO4 TOWYO4		601 593	 											!
318	5 8 16:54: 0 1991	!	TOWYO4		597	: :		1									ŀ
319	5 8 17:10: 0 1991			•	584	i i	i										i
320	5 8 17:26: 0 1991				599	i i	i	i								Ì	i
321	5 8 17:41: 0 1991	36.12631 -1.25015	TOWY04	2434	588	i i	i	İ	ĺ		ĺ					Ì	ĺ
322	5 8 17:55: 0 1991	36.13232 -1.24991	TOWY04	2462	600	{					ĺ						
323	5 8 18:10: 0 1991	36.13727 -1.24988	TOWY04	2474	592												
324	5 8 18:24: 0 1991	36.14205 -1.24998	TOWY04	2471	600												ļ
325	5 9 3:35: 0 1991		TRAPS	:	125	:					60					10	3
326	5 9 5:30: 0 1991		TRAPS		300	: :	250									-	-
327	5 9 6:17: 0 1991 5 0 13-17: 0 1001		TRAPS	:		1000	1000	800	800	600	600	500	500	400	400	350	300
328	5 9 12:13: 0 1991 5 9 14:10: 0 1991		THES		200 200							 					
330	5 9 16:26: 0 1991		THES		200		·			i							i
331	5 9 17:10: 0 1991		THES		200	, i		i									i
332	5 9 21:45: 0 1991		THES	•	200	i i	i	i	i		i		ĺ			Ì	i
333	5 9 23:44: 0 1991	36.06210 -1.36129	THES	2139	200	İİ	i	i	Ì		İ		j			ĺ	ĺ
334	5 10 1:29: 0 1991	36.12269 -1.35975	THES	2038	200		- 1										
335	5 10 3: 9: 0 1991		THES	2180	200		ļ		1								
336	5 10 5:11: 0 1991		THES		200		. !	. !	ļ								!
337	5 10 6:53: 0 1991		THES		200	: :	!	. !	ļ								ļ
338	5 10 8:46: 0 1991		THES		200		!	. !									ļ
339 340	5 10 13:16: 0 1991 5 10 15:20: 0 1991		THES		200				ļ								
341	5 10 15:20: 0 1991 5 10 17: 6: 0 1991	36.23821 -1.16784	THES THES		200 200			- :									
342	5 10 18:55: 0 1991				200		¦	i	1						 		- 1
343			THES		200	. i	i	i	i								i
344	5 10 22:37: 0 1991		THES		200	i i	i	i	i		i			Ì		i	· i
345	5 11 0:35: 0 1991		THES		200	į į	i	i	i		i	ĺ	i i		İ	i	i
346	5 11 2:31: 0 1991	36.54004 -1.16828	THES	2341	200	Ιİ	i	İ	Ì	İ	⊢i	ı İ	lj	ĺ	Ιİ	ΙÌ	ĺ
347	5 11 4:32: 0 1991	36.50671 -1.23093	THES	1913	200	l İ	İ	į	ĺ		Ĺ	ĺ	ĺ	ĺ	Ì	l	İ
348	5 11 6:40: 0 1991				200		ļ	ļ									ļ
349	5 11 10:10: 0 1991				200		!	. !	!	. !	ļ	ļ	!		!	!	!
350	5 11 11:53: 0 1991 5 11 13:34: 0 1991				200		ļ	ļ	!			. !					ļ
351	5 11 13:34: 0 1991 5 11 15:06: 0 1991				200	:	!	ļ	!								ļ
353	5 11 15:06: 0 1991 5 11 16:42: 0 1991				200 200	 	ļ	<u> </u>	ļ		 !						1
354	5 11 18:23: 0 1991				200			l I	¦			. ¦					1
355	5 11 20: 4: 0 1991				200		1		¦			ľ					i
356	5 11 21:54: 0 1991				200		i	i	i		i	i					i
357	5 11 23:47: 0 1991				200	i	i	i	i	i	i	i		i	i	i	i
358	5 12 1:38: 0 1991				200	i	i	i	i		i	i		į	i	i	i
359	5 13 21:25: 0 1991	35.50952 -1.40179	TRAPS	1460	130 j	125	100	90	80	70	60	50	40	30	20	10	0
360	5 13 22:11: 0 1991	35.50940 -1.40153	TRAPS	1460	305	300	300	250	250	225	225	200	200	175	175	150	150

			 1	 '		 ı		• • • • •	••••	••••	 	 . l .	• • • •				
NST	TIME UT+2	I LAT LONG	 TYPE :	l Zbot	Zmax	! ! 1	2	1 3	1 4		boti 6	ite 7	8	9	1 10	l 11	 12
									:			: :	:		:	:	
361	5 13 23:30: 0 1991	35.50808 -1.39893	TRAPS	1486	1014	1000	1000	800	800	600	600	500	500	400	400	350	350
362	5 14 4:46: 0 1991	35.43007 -2.10002	CTDETS	615		570		_		400	400	300	300	200	200	ļ	!!
	5 14 5:42: 0 1991	35.43140 -2.09950	NSKETS	634		100				40	50		 76	70			
363	5 14 6:15: 0 1991 5 14 10: 8: 0 1991	35.43110 -2.10194 35.43400 -2.09409	CTDPC CTDMPMD	618 628	580	150 500	100 400					40 100					: :
365	5 14 13:38: 0 1991	35.44864 -2.08425	CTDPP	743	248	56						17		_		: -	20
366	5 14 21:22: 0 1991	35.47059 -2.06472	CTDPC	843		150						45			:	:	3
367	5 15 5:35: 0 1991	35.50486 -2.04202	CTDETS	1673	1688	1690	1690	150	00	130	00	110	00	100	00	3	ĺ
368	5 15 7:17: 0 1991	35.50789 -2.00338	CTDPC	1900	251	170						60				20	3
	5 15 8:54: 0 1991	35.51857 -2.02532	NSKETS	1900	900	: :	800					250					
369 370	5 15 12: 3: 0 1991 5 15 13:44: 0 1991	35.52733 -2.00810	CTDMPMD			1000						170 77				50 2	
371	5 15 13:44: 0 1991 5 15 16:41: 0 1991	35.53301 -2.00181 35.55133 -1.59332	CTOPP Traps	2332	299	100 300	67 300					33 175					:
372	5 15 18: 9: 0 1991	35.57099 -1.58334	TRAPS	1582		115			1			50				:	: _ :
373	5 15 21:44: 0 1991	35.56592 -1.57605	CTDPC	1441		150						:				: -	:
374	5 16 4:40: 0 1991	35.45796 -1.47197	CTDETS	845	801	800	800	700	700	600	600	450	450	330	330	58	3
1	5 16 5:35: 0 1991	35.45720 -1.47150	NSKETS	832	500	500	400	250	200	100	58					l	
375	5 16 6:33: 0 1991	35.45810 -1.46854	CTDETS	843		150						45		_ :		10	
376	5 16 9:23: 0 1991	35.45690 -1.47044	CTDMPMD		790	700		450								45	30
377 378	5 16 12:59: 0 1991 5 16 22:10: 0 1991	35.46458 -1.45700 35.48158 -1.40405	CTDPP CTDPC	906	243 248	80	60 110					40 45					:
379	5 17 4:51: 0 1991	35.48702 -1.38283	CTDETS	733	679	680						45 350					:
	5 17 5:31: 0 1991	35.48040 -1.37990	NSKETS	779	400	: :	270					550					
380	5 17 6:35: 0 1991	35.48193 -1.37497	CTDPC	828	253		110			65	55	45	35	25	15	10	3
381	5 17 10: 8: 0 1991	35.47934 -1.35122	CTDMPMD	749	698	700	700	600	600	410	410	390	390	320	320	290	290
382	5 17 12: 7: 0 1991	35.48159 -1.34991	CTDPP	822	249	73	55	55	55	55	42	37	22	11	3	3	3
383	5 17 14:48: 0 1991	35.51347 -1.33230	THES	1604	200			!	_				_	[_!
384	5 17 22:20: 0 1991		CTDPC	487	251	::	110					45					
385 386	5 17 23:13: 0 1991 5 18 0: 2: 0 1991	35.46412 -1.31120 35.46202 -1.30927	TRAPS Traps	482 455	299 248	300 125 <i> </i>	300 100					200 50					_ :
387	5 18 4: 4: 0 1991		CTDETS	2417		2000		•		160		140		120		40	_ :
i	5 18 5:20: 0 1991		NSKETS	2420	300	: . :	150								i i		i
388	5 18 5:58: 0 1991	36.25535 -1.28501	CTDETS	2419	999	1000	1000	1000	900	900	800	800	700	700	600	600	i
1 -	5 18 6:39: 0 1991	36.25550 -1.28480	NSKETS	2417	1000	1000	900	800	700	600	500	400		- 1			
389	5 18 7:10: 0 1991	36.25571 -1.26662	CTDPC	2415	250		110			. :		45		25	15	10	3
390	5 18 9: 9: 0 1991	36.25322 -1.27950	CTDMPMD		999	::	450	:						78	65	_	45
391	5 18 12:35: 0 1991 5 18 21: 9: 0 1991	36.25210 -1.27944 36.23532 -1.28392	CTDPP	2434 2432	250 249	77 150						39		12			3
393	5 19 5:11: 0 1991	36.23785 -1.29912	CTDETS	2404		1000				:	:						3 3
1	5 19 6: 0: 0 1991	36.24000 -1.30040	NSKETS	2402	350		300	1	JUU,	1	, 		1	100	100	-	i
394	5 19 6:29: 0 1991	36.24291 -1.30286	CTDETS	2392	299	::	195	175	150	136	104	90	85	70	64	40	20
395	5 19 7:26: 0 1991	36.24087 -1.30393	CTDPC	2384	250	150	120	100	90	75	60	50	40	30	20	10	3
396	•					: :			:		:		:	•			400
397			•		248	: :	62		:	62	47	41	25	12	3	3	3
398	5 19 16: 0: 0 1991 5 10 10-36- n 1001			2394	200	: :	1001		. 250	ן ו חחל	2001	150	150	1201	120	120	120
400	5 19 19:36: 0 1991 5 19 21:35: 0 1991		TRAPS		299 251	: :	:										:
401			•		121	: :	:			:	:	:	:		:		
402	5 20 4:45: 0 1991	· · · · · · · · · · · · · · · · · · ·	•									•					
i i	5 20 5:49: 0 1991	36.15430 -1.47060	NSKETS	1966	600	600	400	300	200	140	j	١	j	j	İ	į	ĺ
403			_	1966				85	75	67	60	50	40	30	20	10	3
	5 20 7:26: 0 1991					100	:	. !	!	!	!	. !	_!	!	إ	<u> </u>	_ !
404			:			330											25
405	:		•	1957		60 63	60 83	:	- :	:	:	31	:		:	•	
407	:			1919 1906	251									-			63
408	:				147			-/	اد.								-
409	:		•				200	180	150	125	100	85	68	60	49	30	20
410	5 21 5:50: 0 1991	36.19384 -1.51348	CTDETS	1839	1201	1100	1100	900	900	900	700 j	700	500	500 j	350 j	350	5
411	5 21 7: 7: 0 1991	36.18384 -1.51874	TRAPS	1899	251	110	100	90	80	70	60	50	40	30	20	10	3
										• • • •							

													. -				
		ļ									bott						١
NST	TIME UT+2	LAT LONG	TYPE	Zbot	Zmax	1 1	2	3	4	5	6	7	8	9	10	11	12
																	: :
412	5 21 7:47: 0 1991	36.18305 -1.51734	TRAPS	1904	304	300	300							130	130	120	120
	5 21 8:27: 0 1991	36.18343 -1.51765	NSK	1907	100	100	60	50		25						<u> </u>	
413	5 21 9:11: 0 1991	36.18072 -1.51589	CTDMPMD	1918	1300	1300	1300									350	: :
414	5 21 16:24: 0 1991	36.00582 -1.54266	TRAPS	2000	299	300	300	250	250	200	200	150	150	130	130	120	120
415	5 21 18: 1: 0 1991	36.02638 -1.53143	TRAPS	2032	249	110	100							30			1 .
416	5 21 22:11: 0 1991	36.06113 -1.48487	CTDPC	2083	250	150	130	110	95	85	75	65	55	45	30	20	: :
417	5 22 3:46: 0 1991	36.05579 -1.48309	CTDETS	2098	1864	1850	1850	160	00	140	00	120	90	1	1000		3
418	5 22 5:42: 0 1991	36.07039 -1.46075	CTDETS	2108	900	900	900	700	700	500	500	300	300	200	64	52	41
419	5 22 6:56: 0 1991	36.06608 -1.46030	CTDPC	2118	250	150	110	90	80	70	60	50	42	30	20	10	3
420	5 22 7:40: 0 1991	36.07305 -1.45185	CTDETS	2100	250	250	250	250	154	115	92	72	65	56	46	32	20
421	5 22 8:30: 0 1991	36.07619 -1.43954	CTDMPMD	2069	1599	1600	1600	140	00	120	00	100	00	800	800	600	600
422	5 22 13:47: 0 1991	36.08334 -1.42416	CTDPP	2047	250	89	44	33	33	33	33	33	25	22	13	7	3
423	5 22 16:53: 0 1991	36.10420 -1.37960	THES	1987	200											,	i 1
424	5 22 21:25: 0 1991	36.10330 -1.37636	CTDPC	1983	250	150	125	100	80	70	60	50	40	30	20	10	0
425	5 23 4:59: 0 1991	36.09659 -1.34341	CTDETS	1974	1100	1100	1100	1000	100	00	800	800	600	600	500	500	3
1	5 23 5:48: 0 1991	36.10320 -1.33700	NSKETS	1978	400	400	20				1 1			1		i	
426	5 23 6:26: 0 1991	36.10744 -1.33560	CTDPC	1958	250	160	110	95	85	65	50	44	38	30	20	10	3
427	5 23 7:22: 0 1991	36.11364 -1.33105	CTDETS	2042	350	350	350	300	300	250	200	150	105	80	68	50	32
1	5 23 9:55: 0 1991	36.11350 -1.32690	NSK	2092	100	100	75	60	50	45	25	10				i	
428	5 23 10:44: 0 1991	36.11851 -1.31984	CTDMPMD	2210	398	400	296	250	170	140	120	110	85	70	45	35	25
429	5 23 11:54: 0 1991	36.12014 -1.31487	CTDPP	2266	254	85	56	42	42	42	42	42	32	28	17	8	2
430	5 23 16: 8: 0 1991	36.09558 -1.54540	TRAPS	1578	249	110	100	90	80	70	60	50	40	30	20	10	0
431	5 23 18: 1: 0 1991	36.10117 -1.54676	TRAPS	1818	310	300	300	250	250	200	200	150	150	130	130	120	120
432	5 23 22:10: 0 1991	36.08645 -1.55865	CTDPC	1093	248	170	120	100	80	70	60	50	40	30	20	10	0
433	5 24 3:14: 0 1991	36.10837 -1.51238	CTDETS	1884	1825	1800	1800	160	00	140	00	120	00	100	00	150	3
434	5 24 4:55: 0 1991	36.10818 -1.50911	CTDETS	1887	899	900	900	800	800	700	700	600	600	500	500	55	20
435	5 24 6: 5: 0 1991	36.10854 -1.51072	CTDETS	1869	399	400	400	350	350	300	300	275	275	200	150	100	80
436	5 24 6:59: 0 1991	36.10934 -1.49673	CTDPC	1933	252	150	150	100	80	70	58	50	40	30	20	10	3
437	5 24 7:55: 0 1991	36.11221 -1.49695	CTDMPMD	1940	1599	1600	1600	140	00	120	90 j	100	00	800	800	600	600
]	5 24 9: 0: 0 1991	36.11510 -1.49590	NSK	1949	100	100	70	60	30	15							1 1
438	5 24 13:26: 0 1991	36.12572 -1.47460	CTDPP	1960	251	80	60	50	40	24	12	12	10	10	10	10	80
439	5 24 20:50: 0 1991	36.12030 -1.44524	CTDPC	1962	248	130	100	90	80	70	60	50	40	30	20	10	3
440	5 25 5:30: 0 1991	36.12462 -1.43064	CTDETS	1954	500	500	500	450	450	400	400	350	350	300	300	3	1 1
441	5 25 8: 6: 0 1991	36.12722 -1.41837	CTDPC	1954	251	150	100	90	80	70	58	50	40	30	20	10	3
442	5 25 9: 0: 0 1991	36.12962 -1.41691	CTDMPMD	1949	350	330	250	200	140	130	105	95	85	75	65	55	40
443	5 25 11:41: 0 1991	36.12990 -1.41400	CTDPP	1952	252	75	58	58	58	58	58	58	44	37	22	12	Ιİ
•	•	•															•

Almofront-1 A

(24 avril au 12 mai 1991):

couverture régionale du jet et structure du front

Thermographies satellitaires

A.M. FOLKARD & P.A. DAVIES

Satellite NOAA, traitements par A.M. Folkard et P.A. Davies (Université de Dundee) Du clair au foncé = du froid au chaud.

Couverture régionale :

19.4.1991	04.5.1991	16.5.1991	23.5.1991
29.4.1991	07.5.1991	17.5.1991	04.6.1991
30.4.1991	08.5.1991	20.5.1991	05.6.1991
01.5.1991	09.5.1991	21.5.1991	06.6.1991
03.5.1991	13.5.1991	22.5.1991	

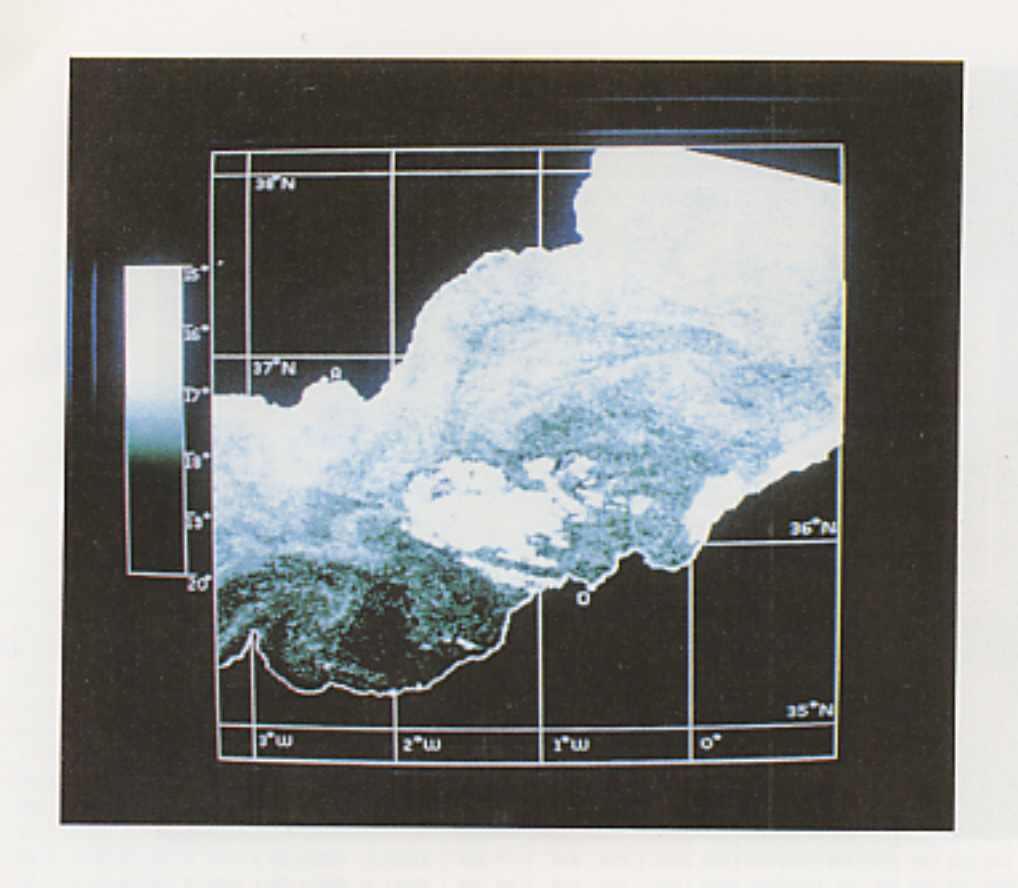
Images détaillées :

01.5.1991

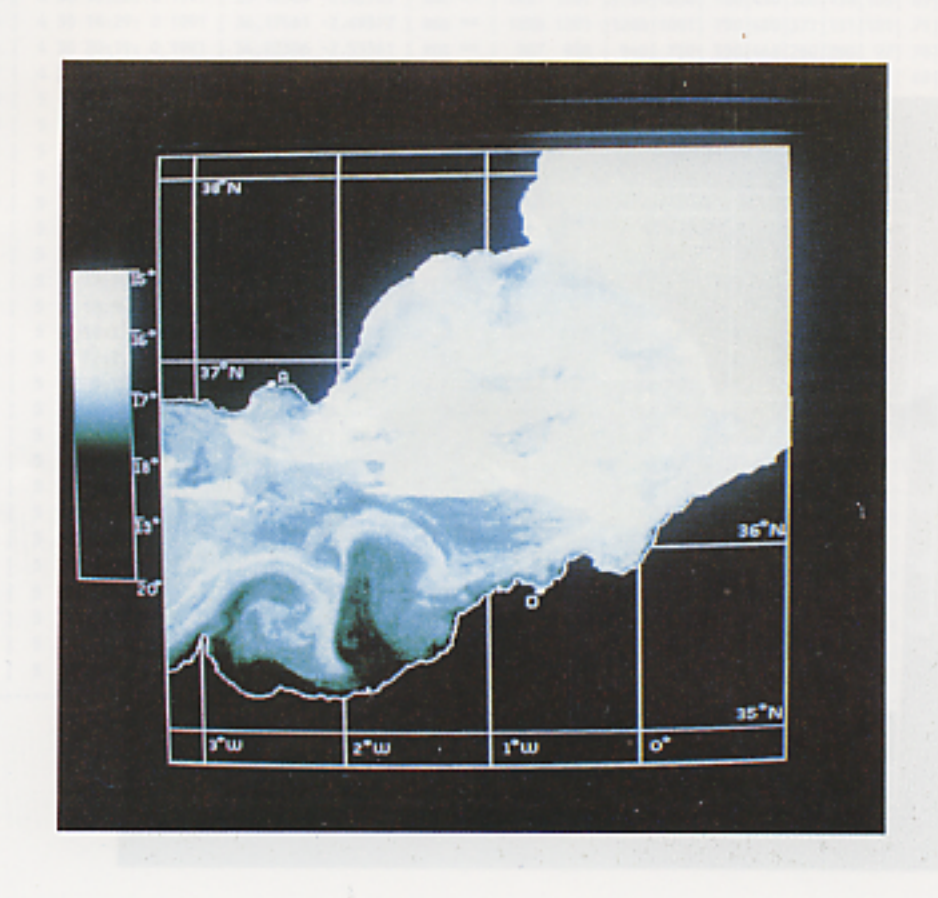
08.5.1991

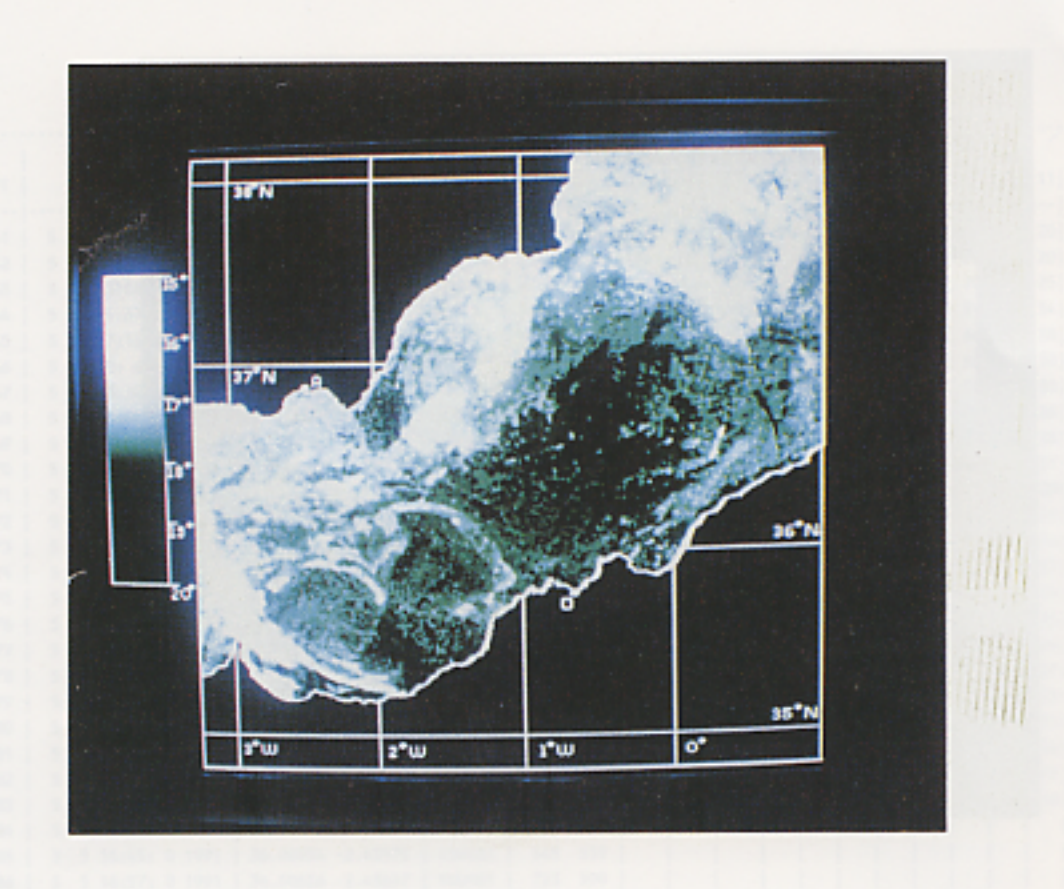
21.5.1991

04.6.1991

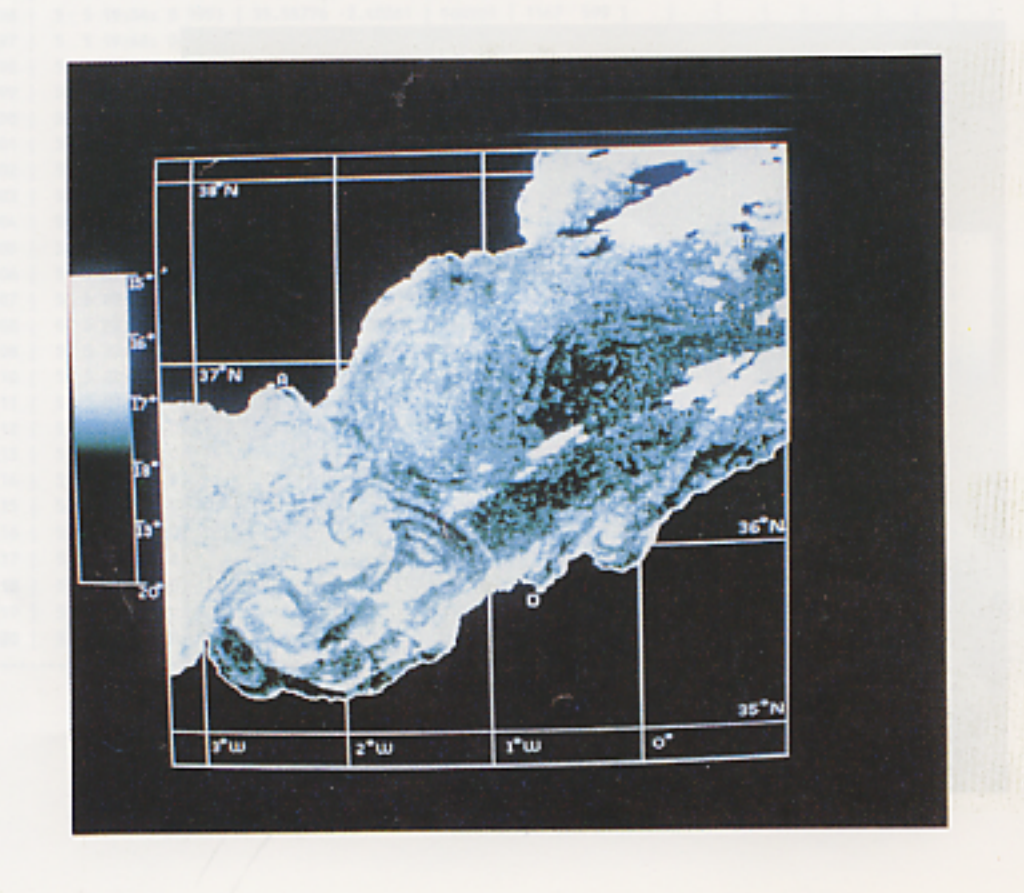


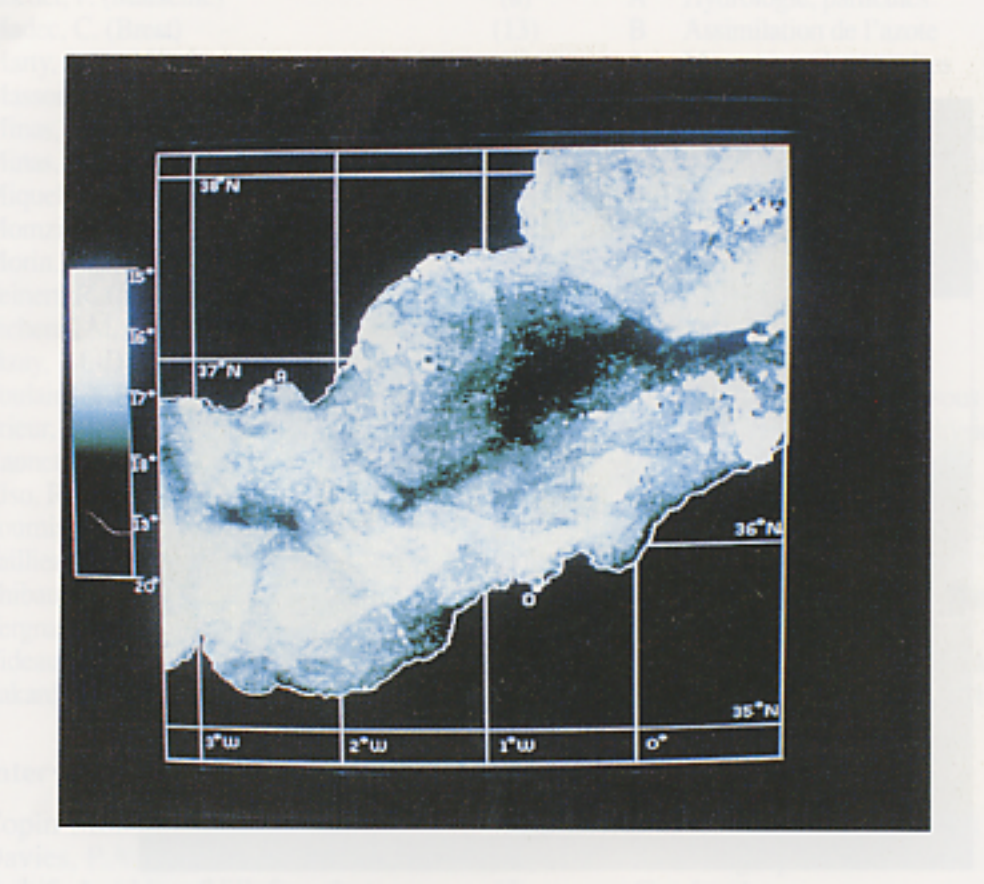
NOAA-10 07.41 GMT 29/4/91



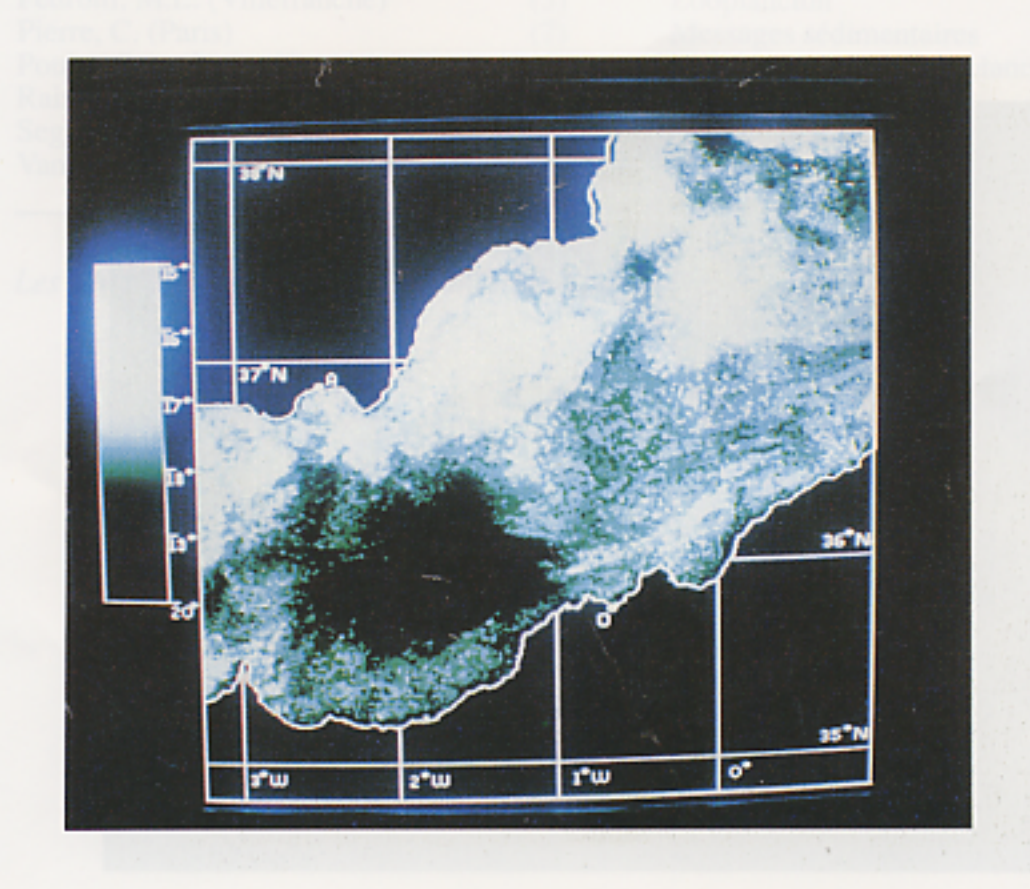


NOAA-11 02.44 GMT 01/5/91

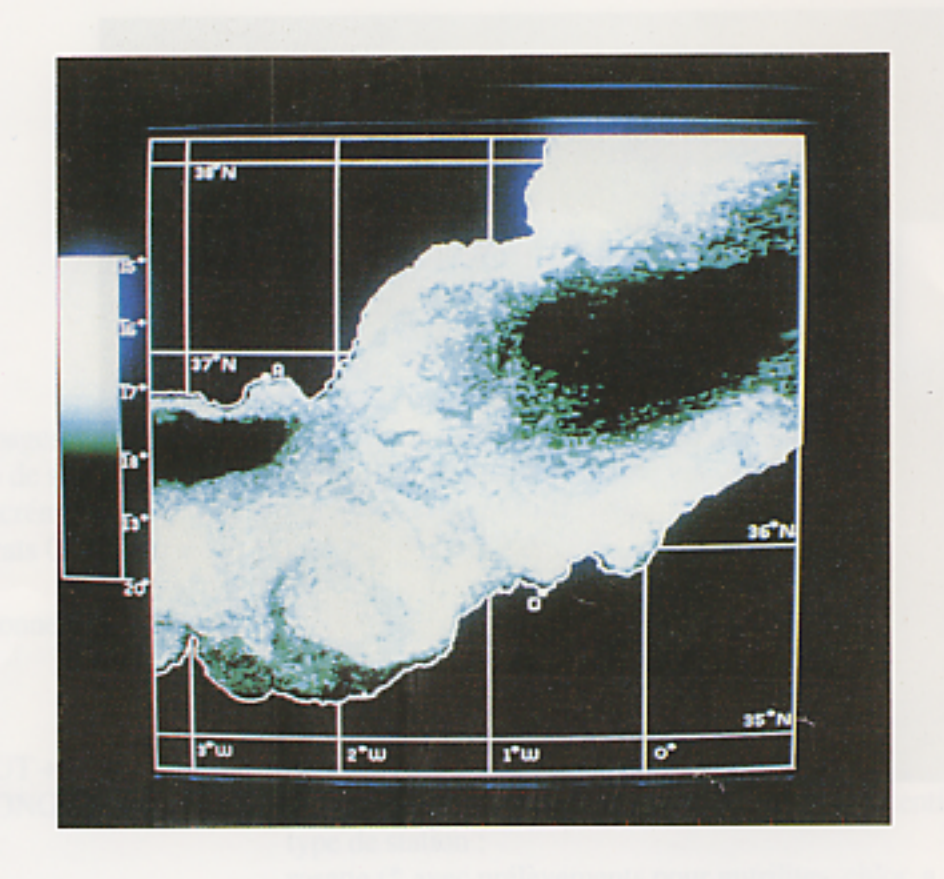




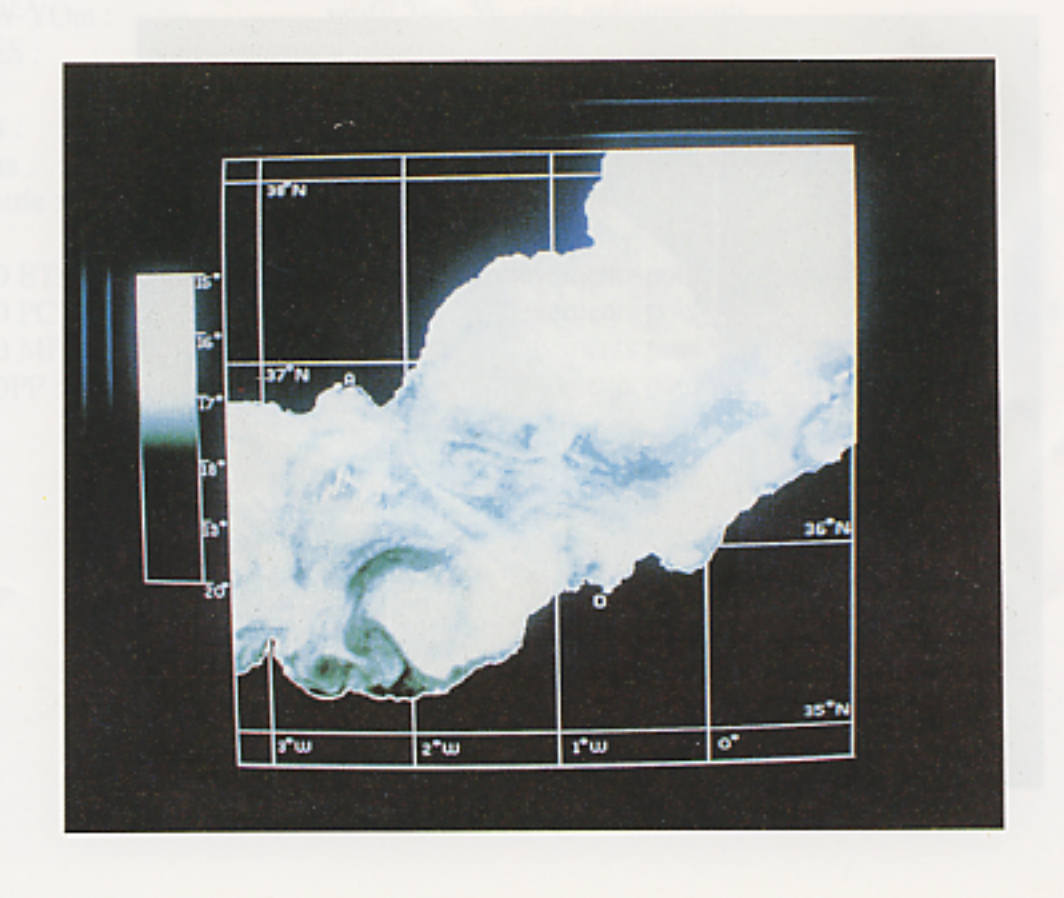
NOAA-11 13.45 GMT 04/5/91

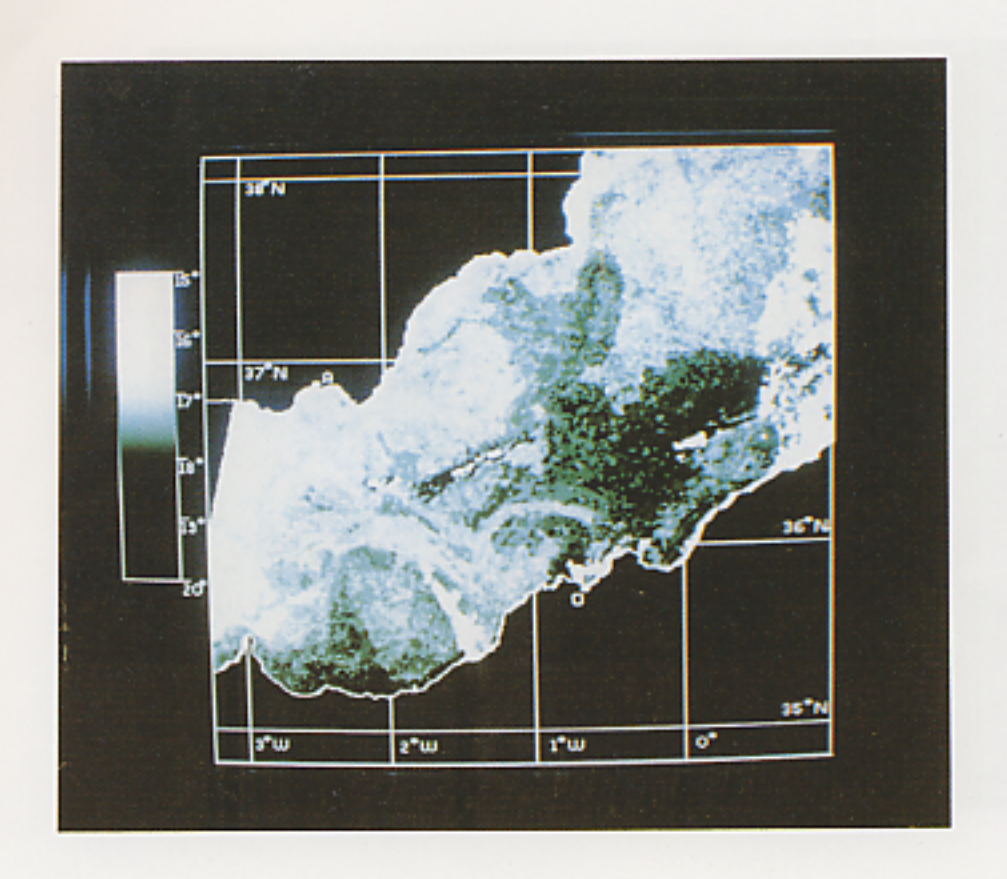


NOAA-11 14.52 GMT 07/5/91

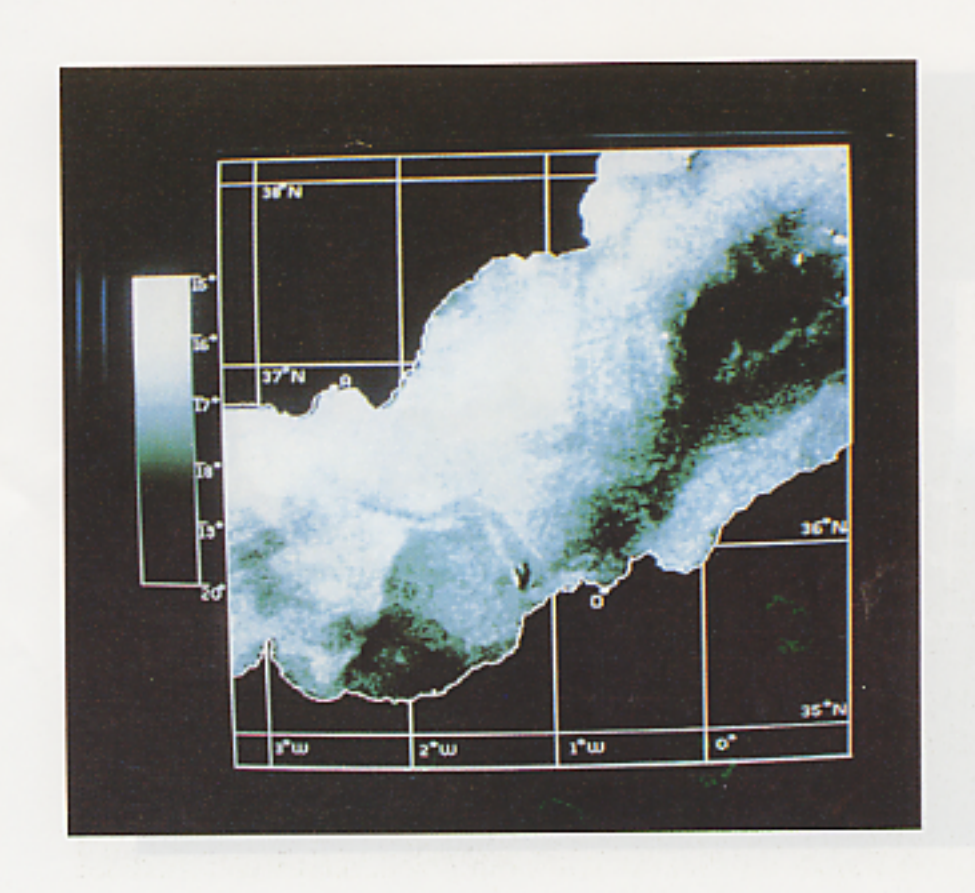


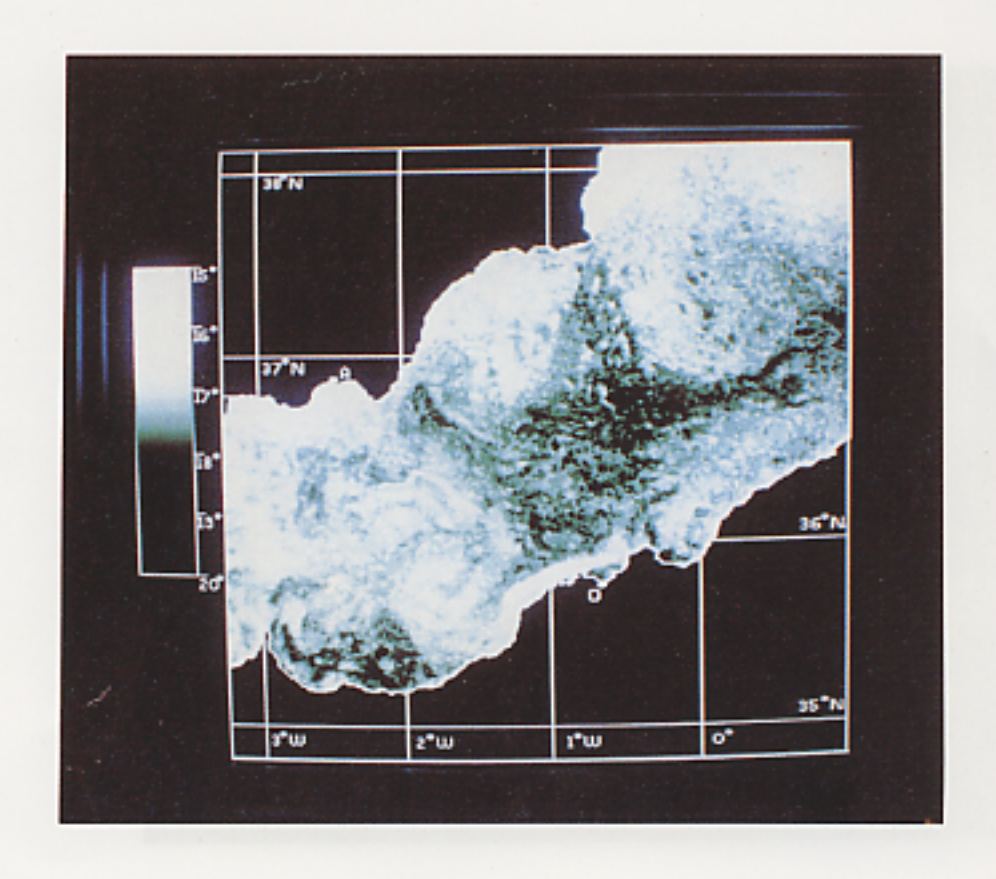
NOAA-10 07.32 GMT 08/5/91



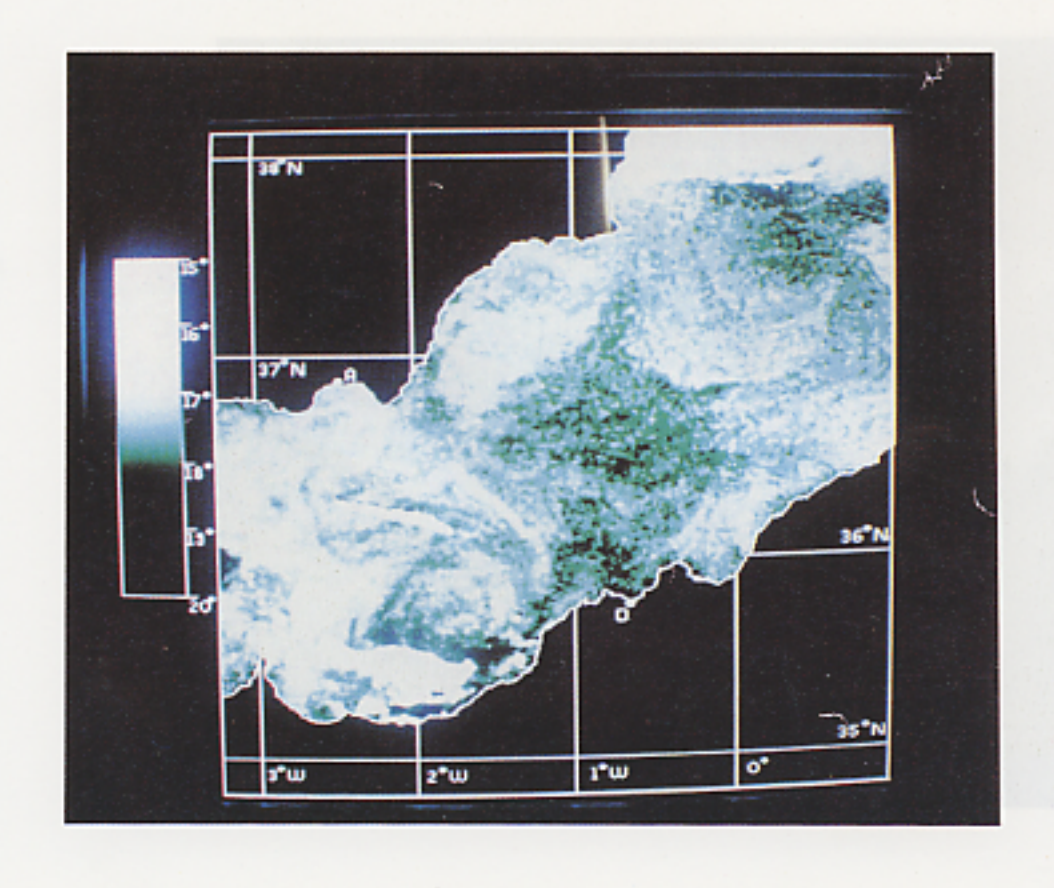


NOAA-11 13.42 GMT 13/5/91

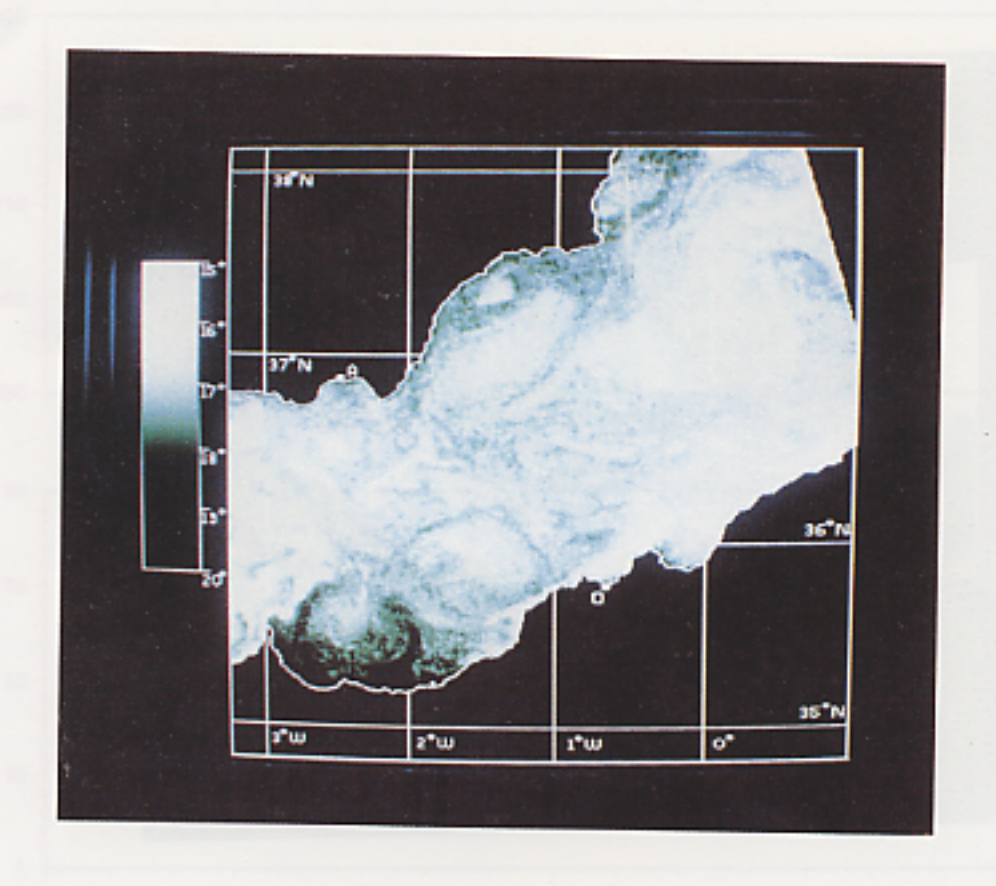




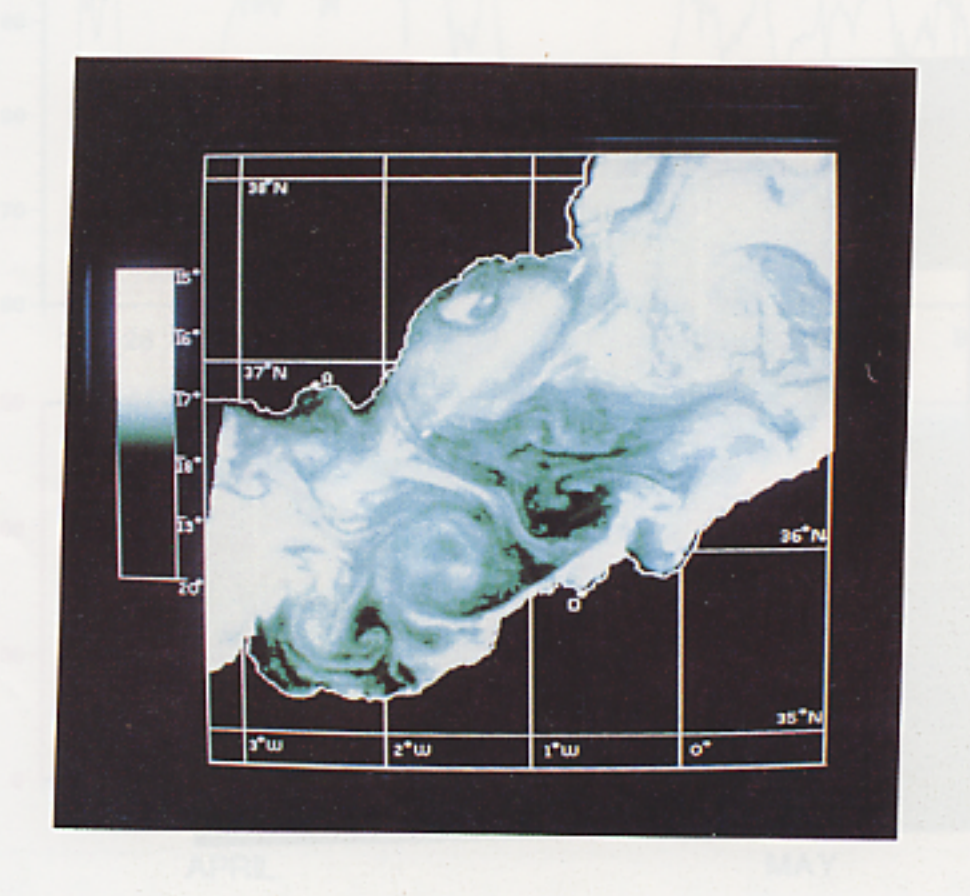
NOAA-10 14.38 GMT 17/5/91

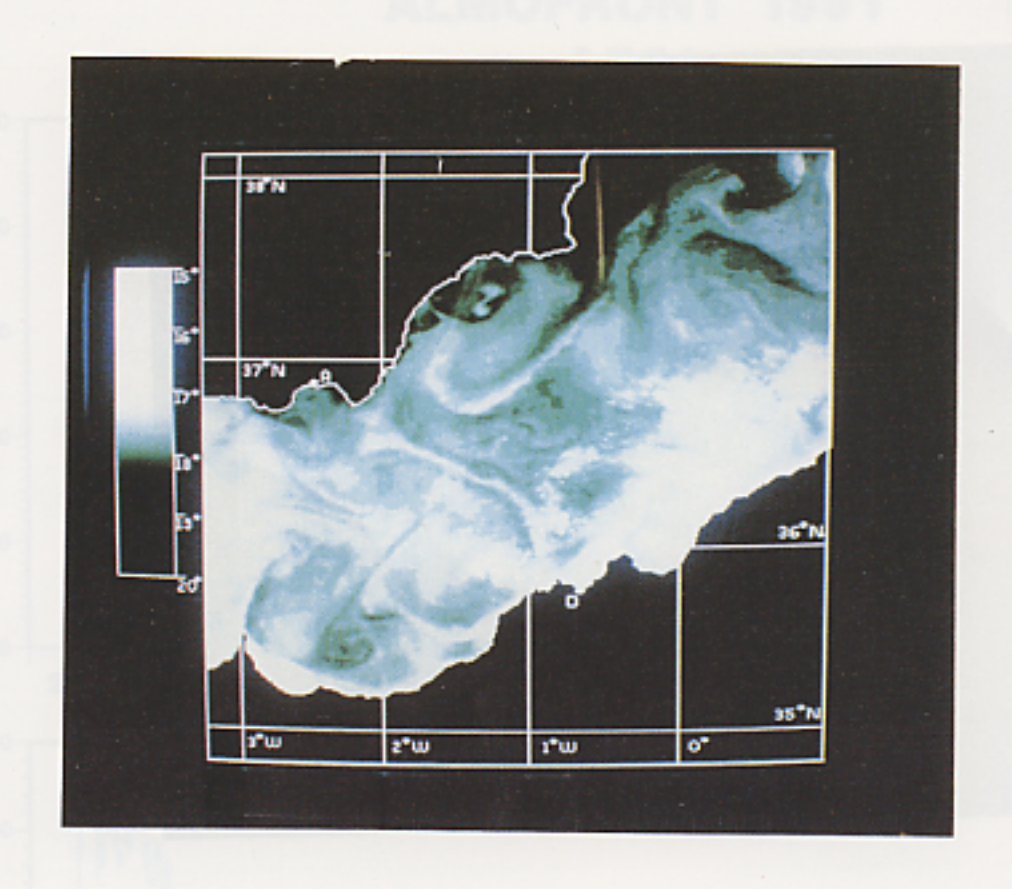


NOAA-11 14.04 GMT 20/5/91

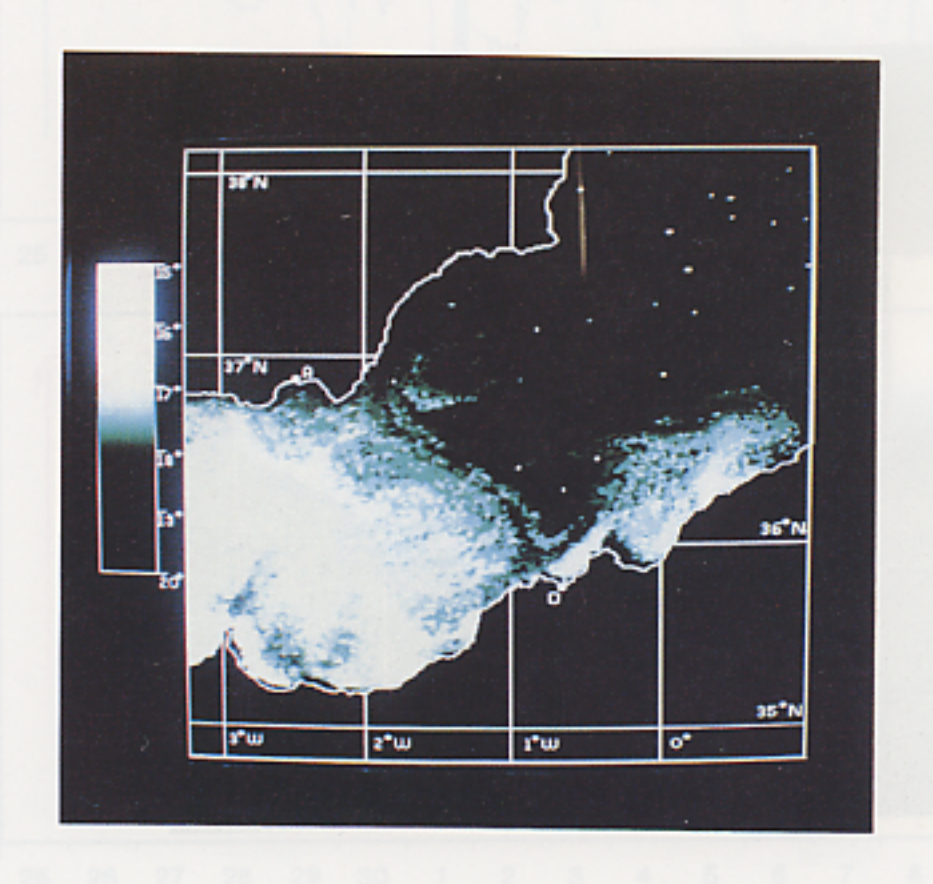


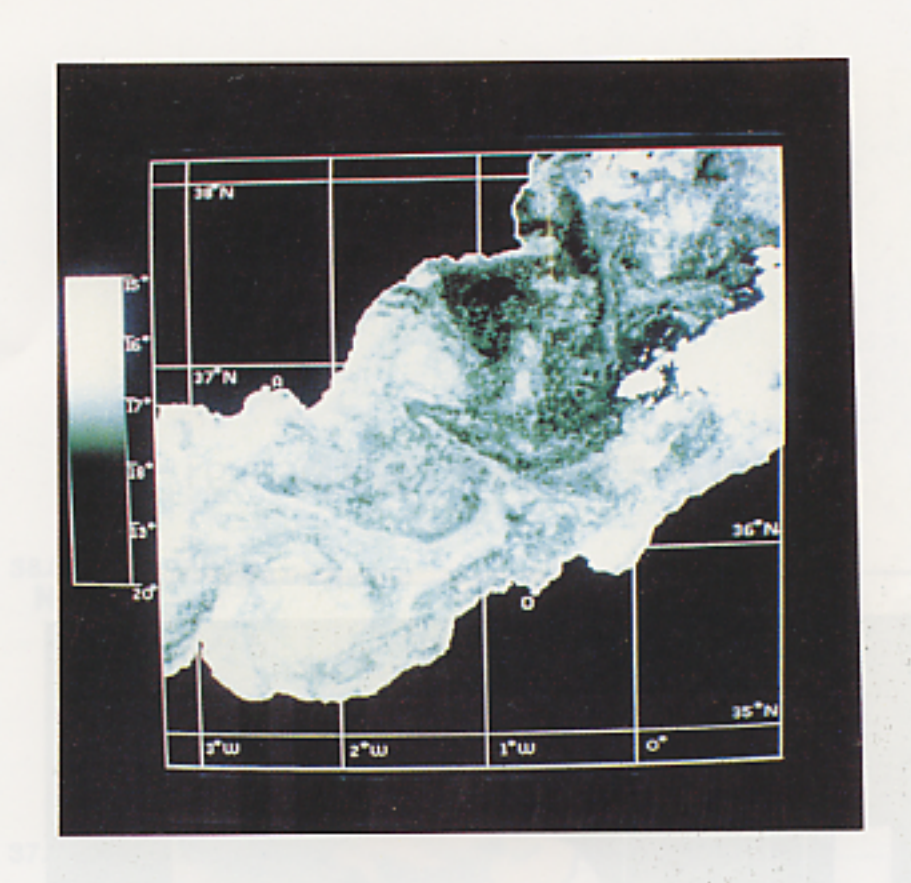
NOAA-10 07.28 GMT 21/5/91



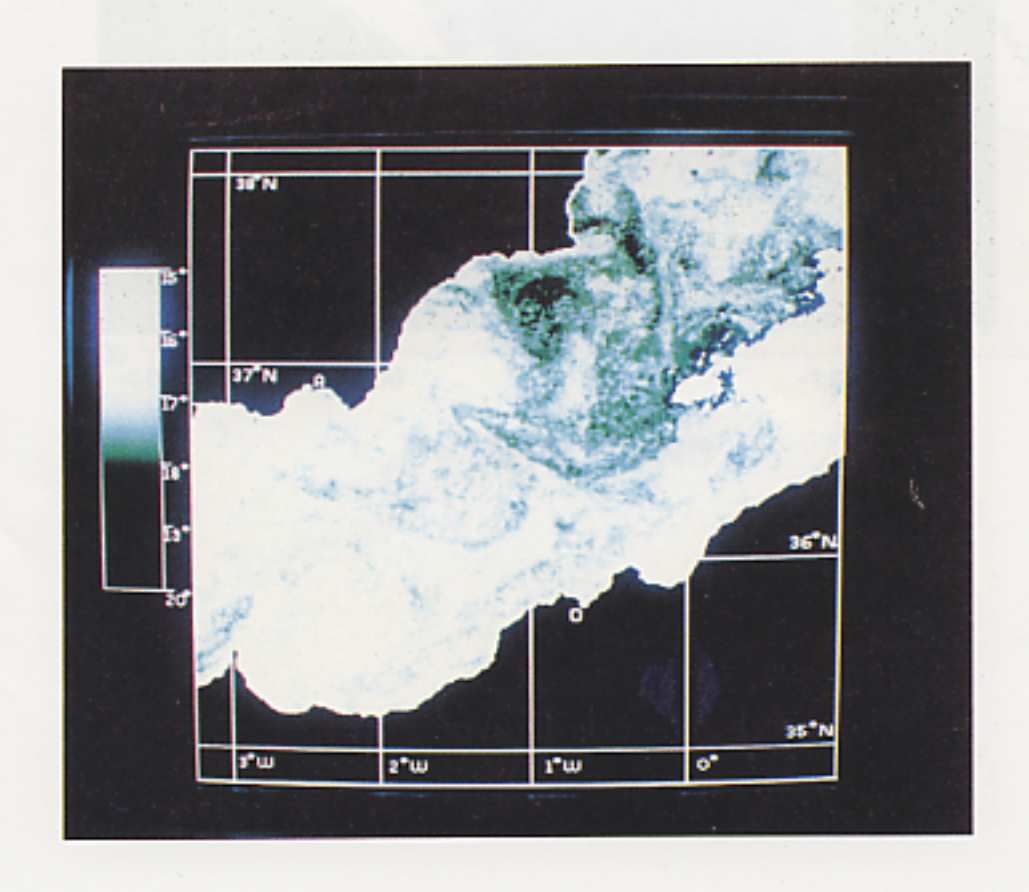


NOAA-11 13.29 GMT 23/5/91

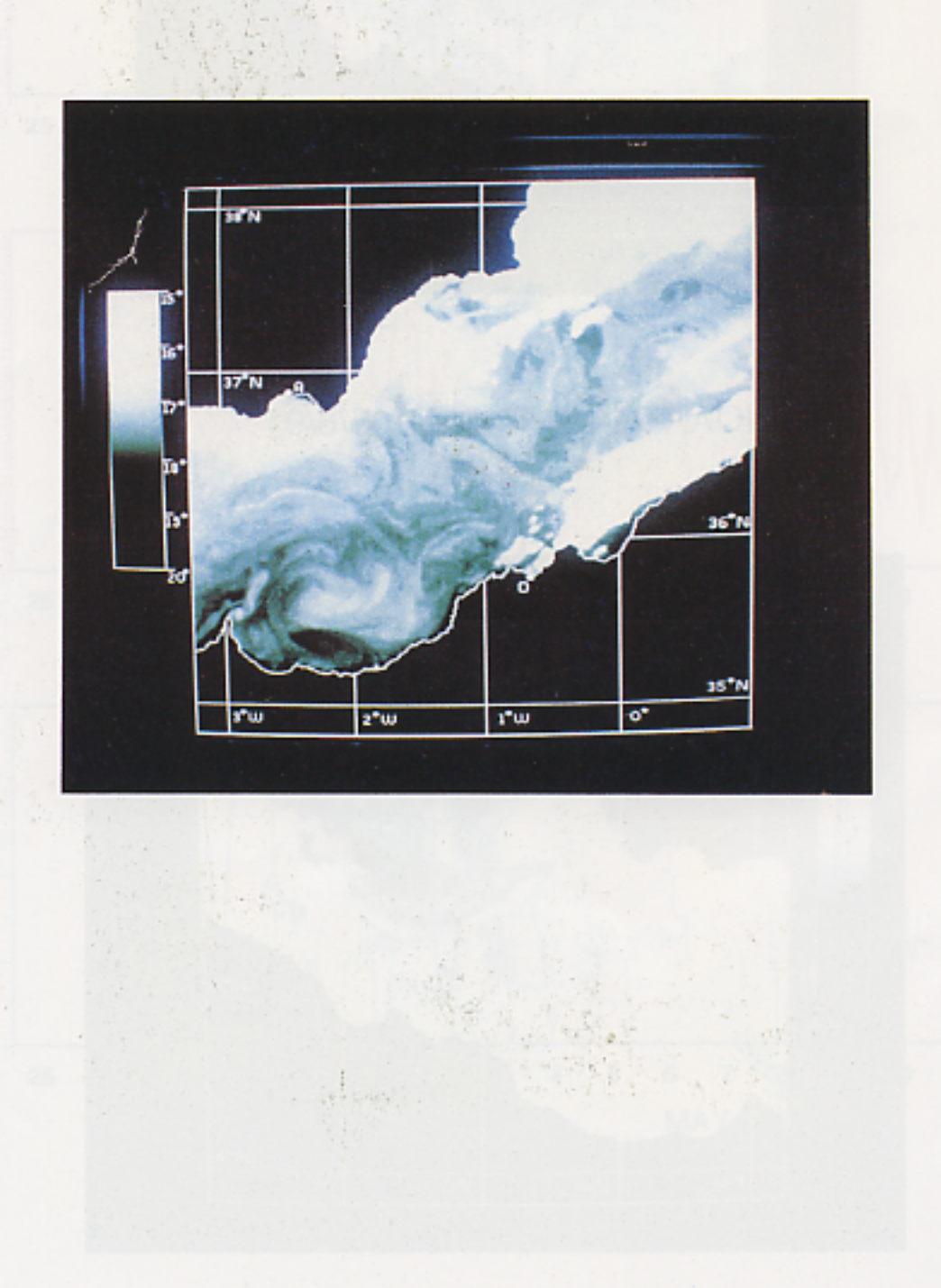


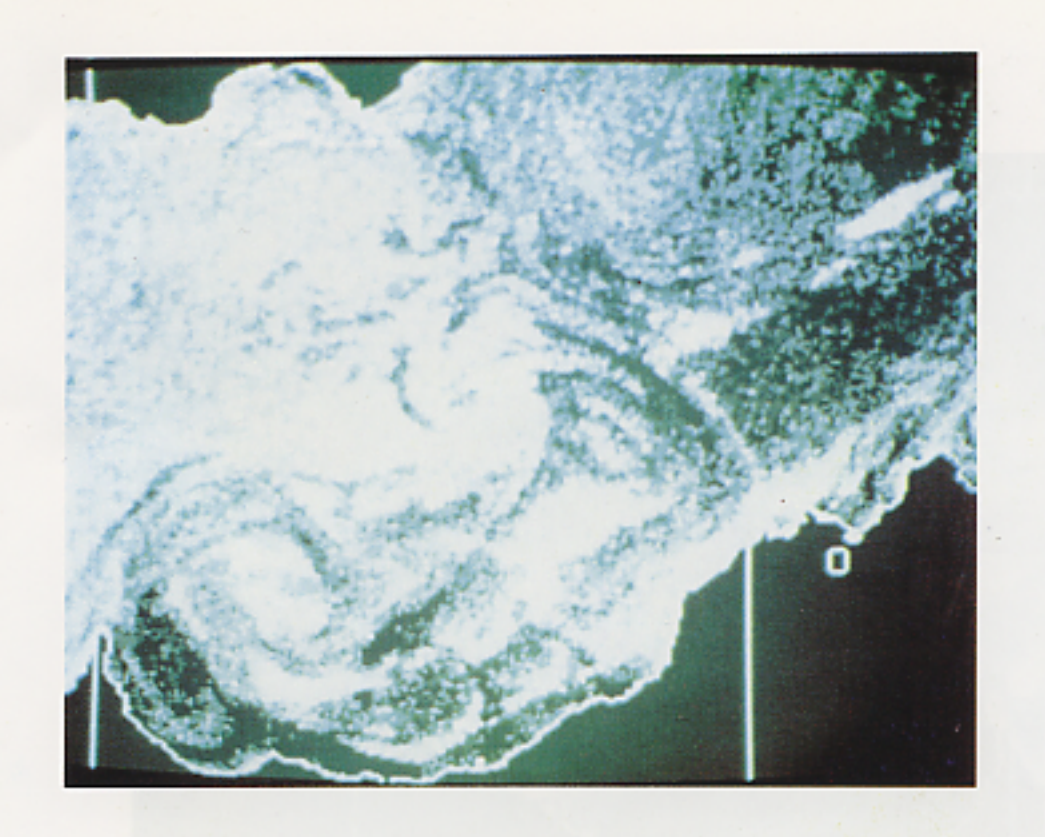


NOAA-11 02.47 GMT 05/6/91

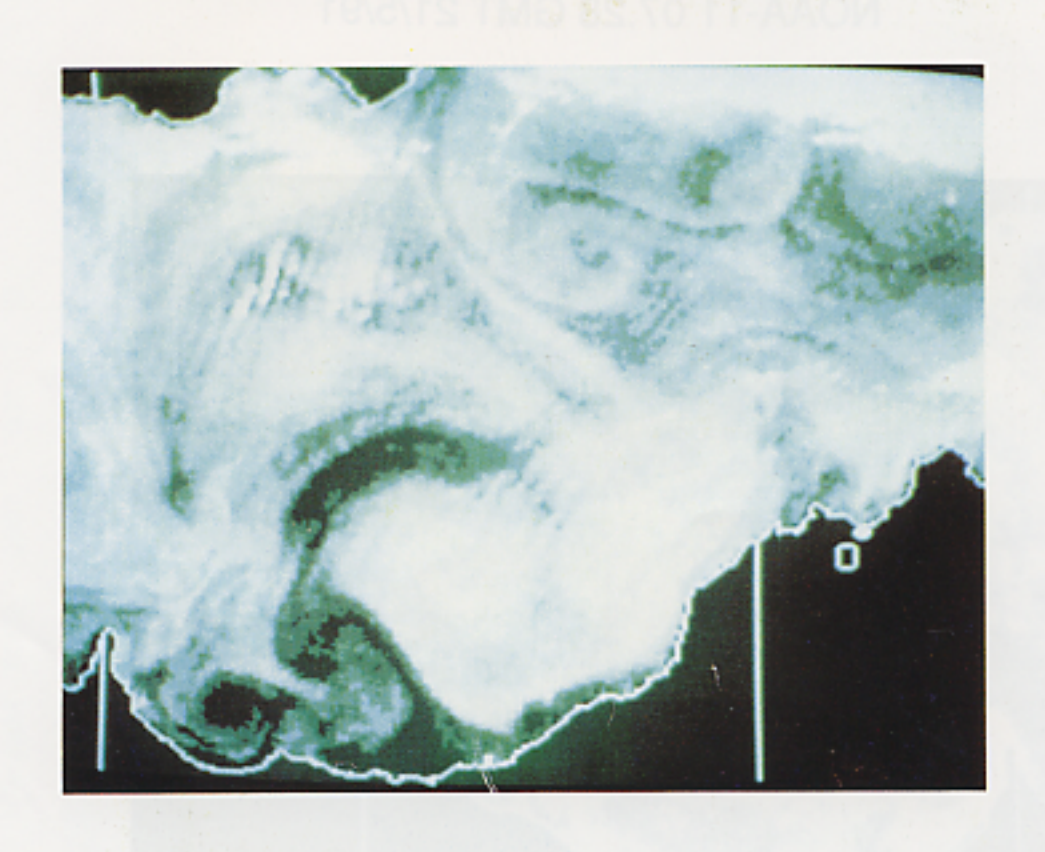


NOAA-10 07.55 GMT 06/6/91

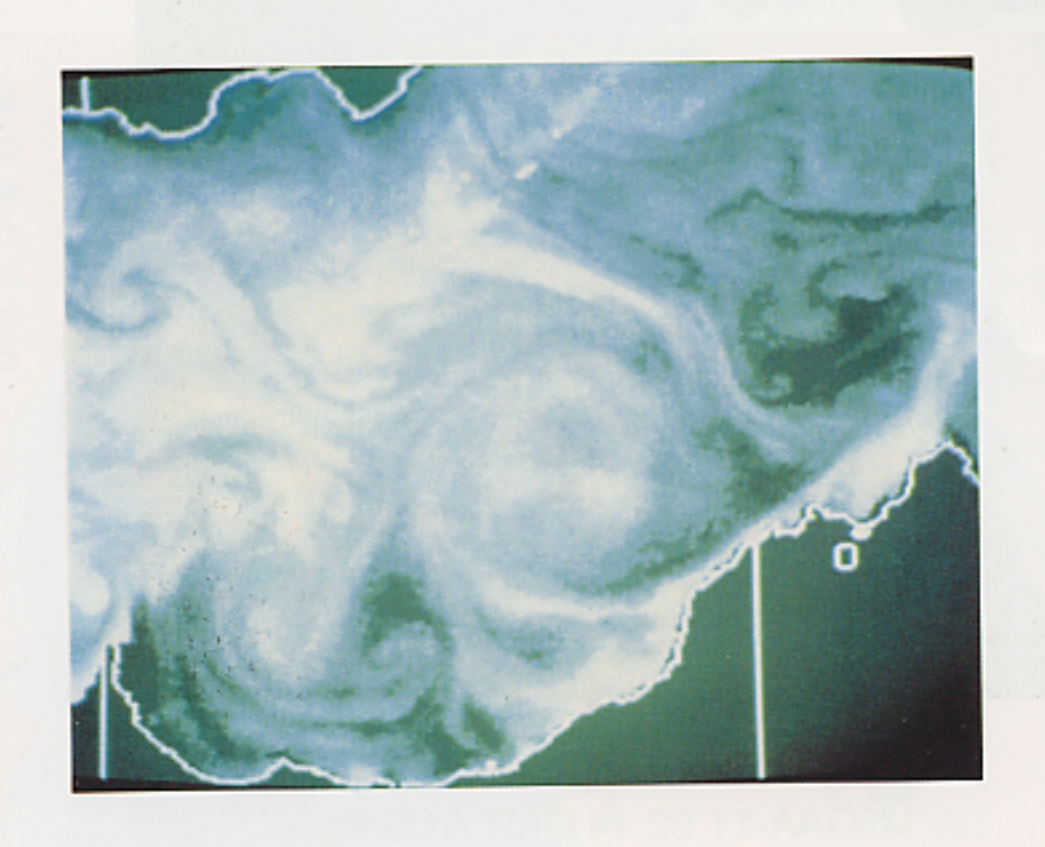




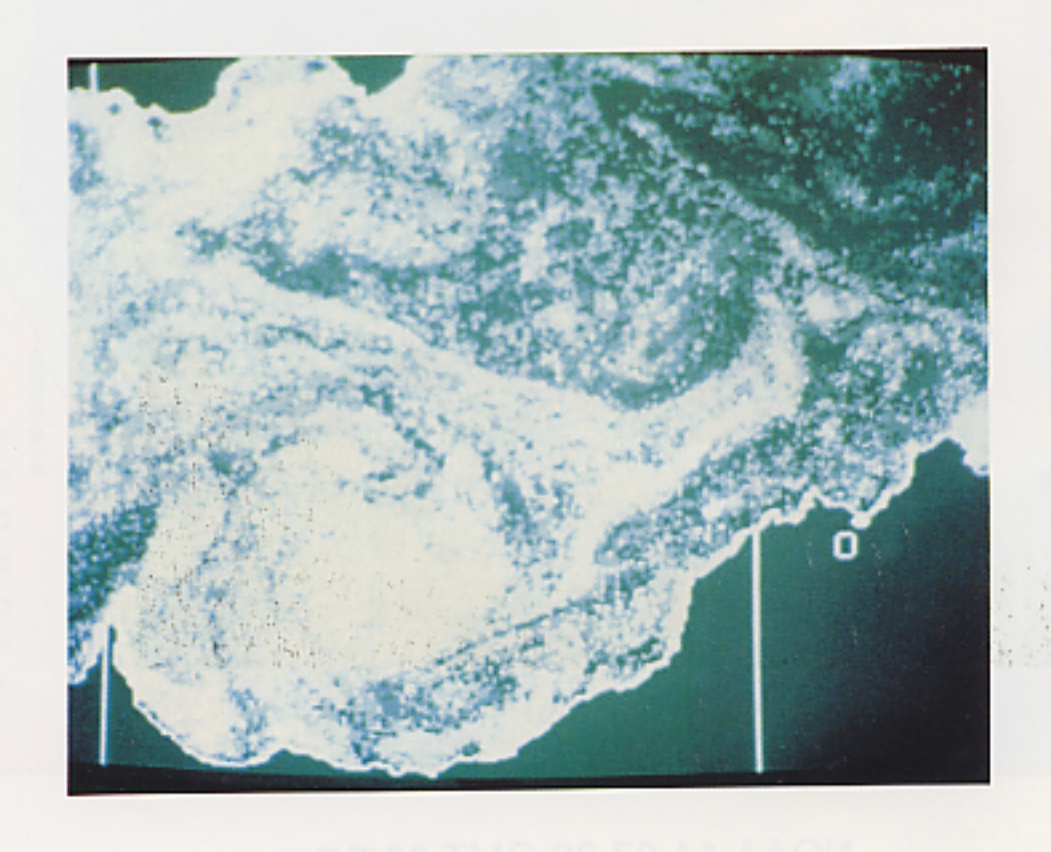
NOAA-11 02.44 GMT 01/5/91



NOAA-11 07.32 GMT 08/5/91



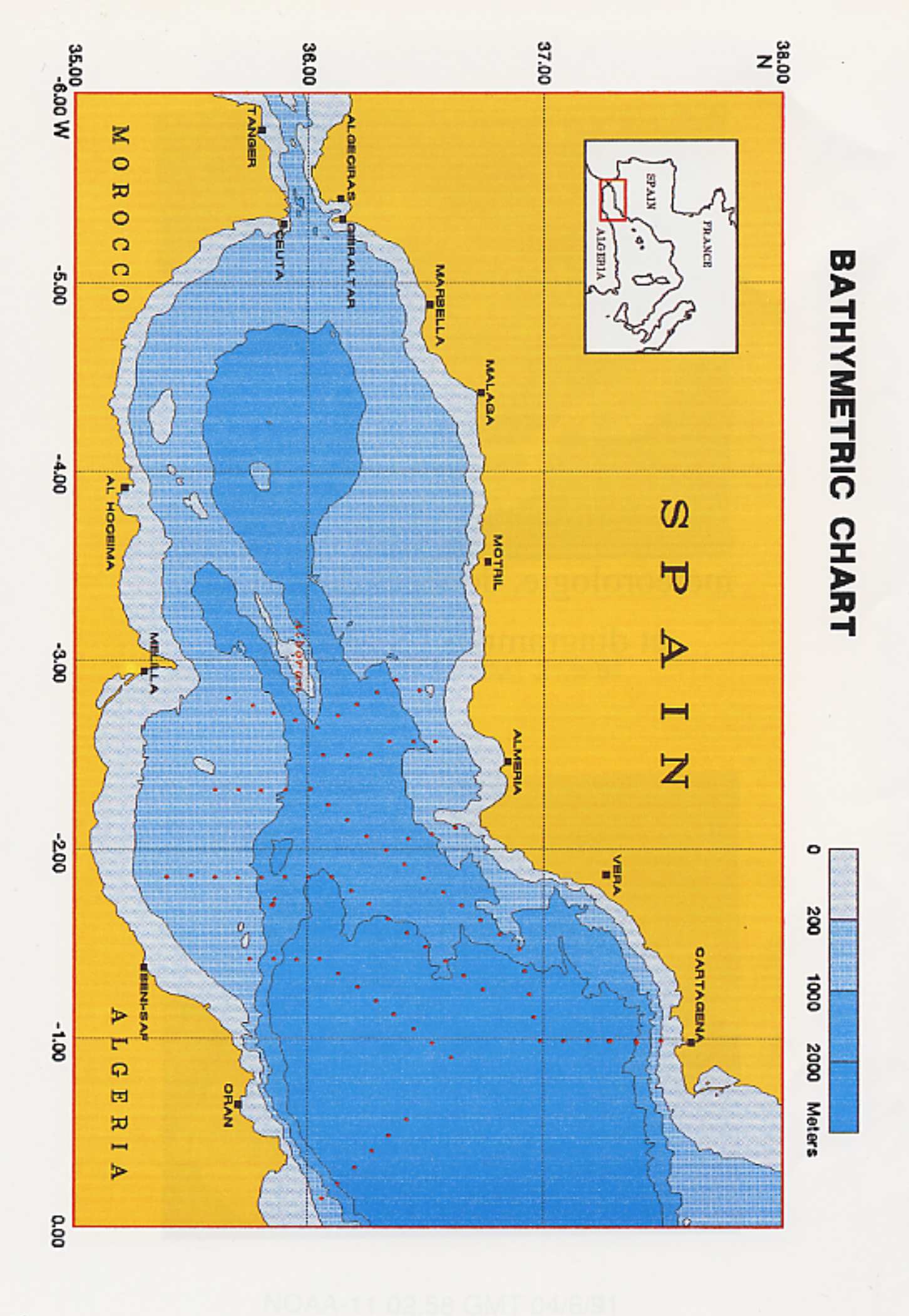
NOAA-11 07.28 GMT 21/5/91



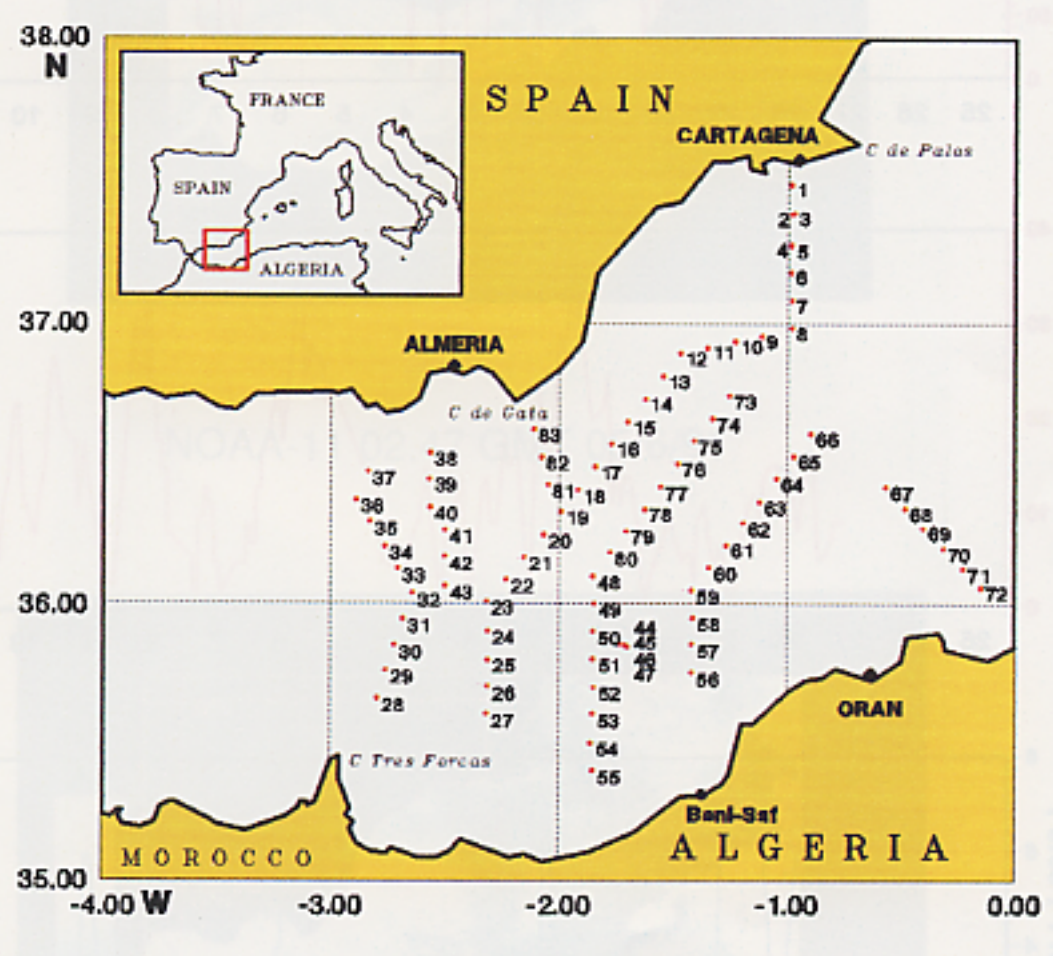
NOAA-11 02.58 GMT 04/6/91

Bathymétrie, stations, météorologie, données de surface et diagramme TS général

J. RAUNET, D. TAILLIEZ & L. PRIEUR

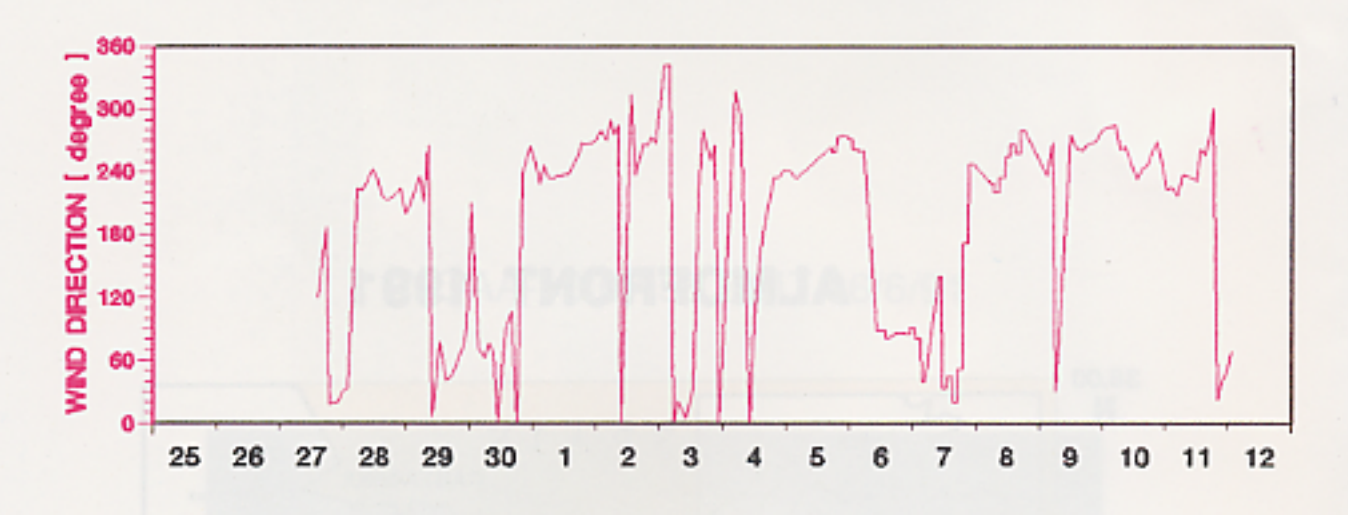


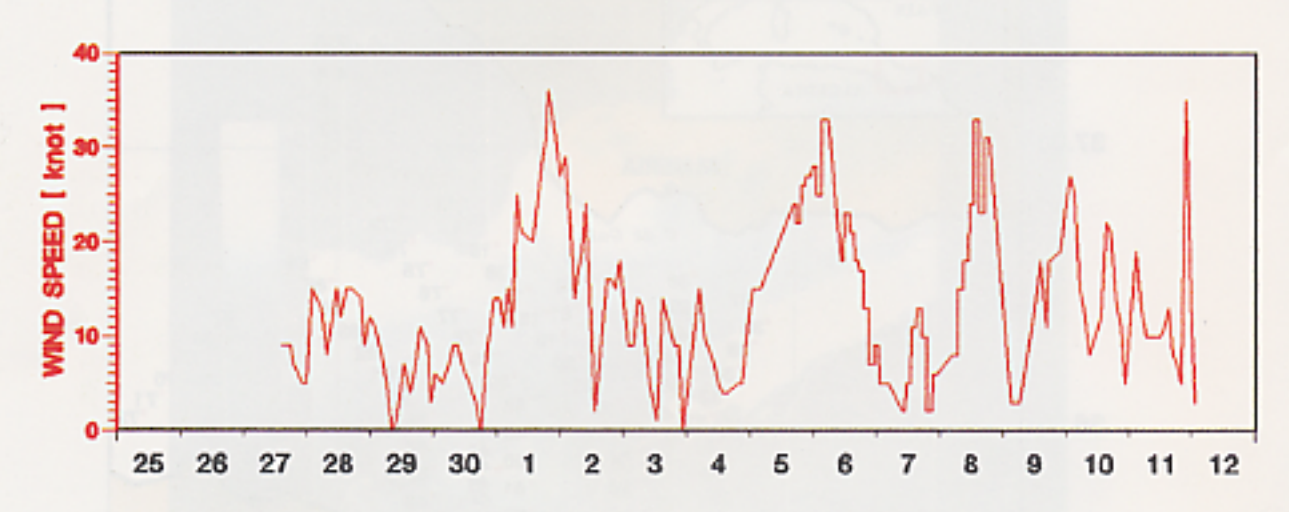
ALMOFRONT 1991

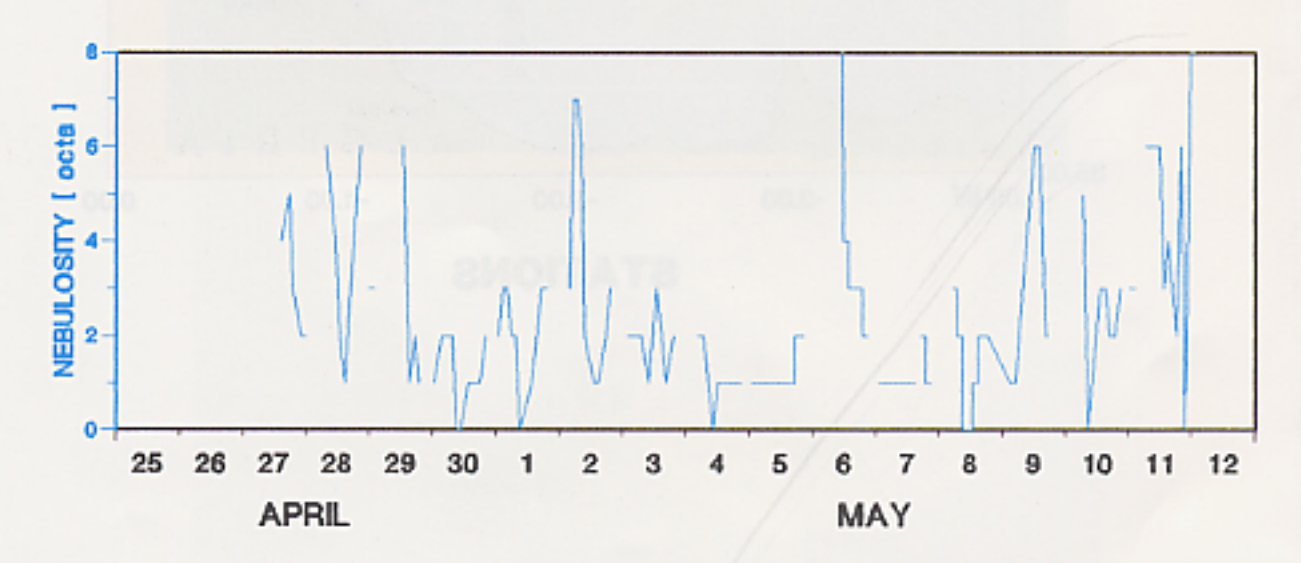


STATIONS

ALMOFRONT 1991 - A - METEOROLOGY







ALMOFRONT 1991 - A - METEOROLOGY

